

# Introdução à Robótica Móvel

Geovany Araujo Borges

*Grupo de Instrumentação, Controle e Automação (GICA)*

*Grupo de Automação, Robótica e Visão Computacional (GRAV)*

*Grupo de Processamento Digital de Sinais (GPDS)*

Departamento de Engenharia Elétrica.

Faculdade de Tecnologia - Universidade de Brasília

e-mail: gaborges@ene.unb.br

Junho, 2005



Universidade de Brasília, Brasil.

## Plano da apresentação

- Parte I - Um Panorama da Robótica Móvel
- Parte II - Desenvolvimento de Robôs Móveis
- Parte III - Mercado da Robótica Móvel



## Parte I - Um Panorama da Robótica Móvel

- Inserção na Robótica
- Busca por Identidade
- Os Primeiros Robôs Móveis (Terrestres)
- Desenvolvimentos Recentes



## Inserção na Robótica

- Inserção inicial na Robótica:
  - Robôs estáticos: indústria de manufatura;
  - Robôs móveis: aplicações de supervisão.
- Modalidades atuais de robôs móveis:
  - Robôs móveis (terrestres):
    - \* Robôs a rodas.
    - \* Robôs monópedes, bípedes, quadrúpedes, ...
    - \* Mímicos da natureza: insetos.
    - \* Sem forma definida.



## Inserção na Robótica

- Modalidades atuais de robôs móveis:
  - Robôs aéreos (*Unmanned Aerial Vehicles*):
    - \* Drones;
    - \* Helimodelos robotizados;
    - \* Quadrirotores.
  - Robôs sub-aquáticos :
    - \* *Remotely Operated Vehicles* (ROVs);
    - \* *Autonomous Underwater Vehicles* (AUVs).
  - Micro e nano-robôs.



## Busca por Identidade

- Motivações e expectativas de desenvolvimento de robôs móveis:
  - Até os anos 80 (Promessas): Em vinte anos, robôs móveis poderão realizar qualquer tipo de tarefa de forma segura, se comunicar com os humanos e "protegê-los".
  - Anos 90 (Muito trabalho): Grandes desenvolvimentos na área da robótica móvel, com resultados experimentais tanto motivadores como frustrantes. Expansão das modalidades de robôs. Desilusão!
  - 2000 - Atual (Amadurecimento): Mudança de foco, com reforço das seguintes qualidades: assistência, colaboração, tele-operação e entretenimento.



## Busca por Identidade

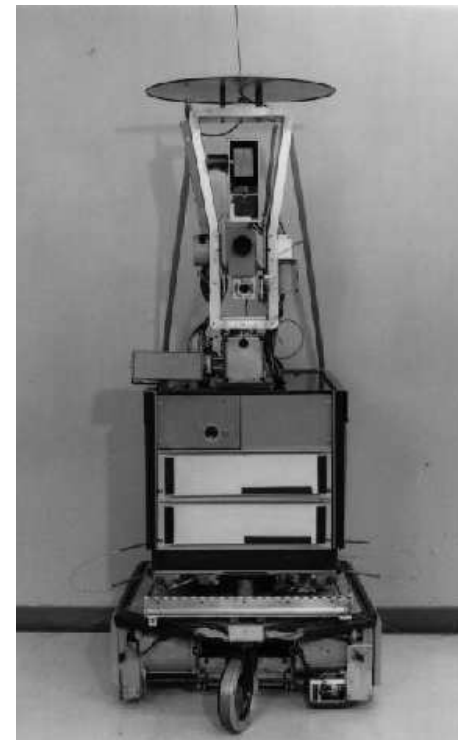
- Áreas de conhecimento envolvidas:
  - Engenharias: concepção mecânica e elétrica, modelamento cinemático e dinâmico, controle e estimação, eletrônica, sensores, atuadores, interferência eletromagnética, processamento digital de sinais, etc.
  - Ciência da computação: algoritmos e estruturas de dados, sistemas operacionais, processamento paralelo, inteligência artificial, etc.
  - Matemática e Estatística: teoria das probabilidades, processos estocásticos, modelamento matemático, curvas parametrizáveis, etc.
  - Humanas: filosofia e psicologia;
  - Multidisciplinares: inteligência artificial, processamento da informação, visão computacional, otimização.



## Os Primeiros Robôs Móveis (Terrestres)

- Shakey: Stanford University (final dos anos 60)

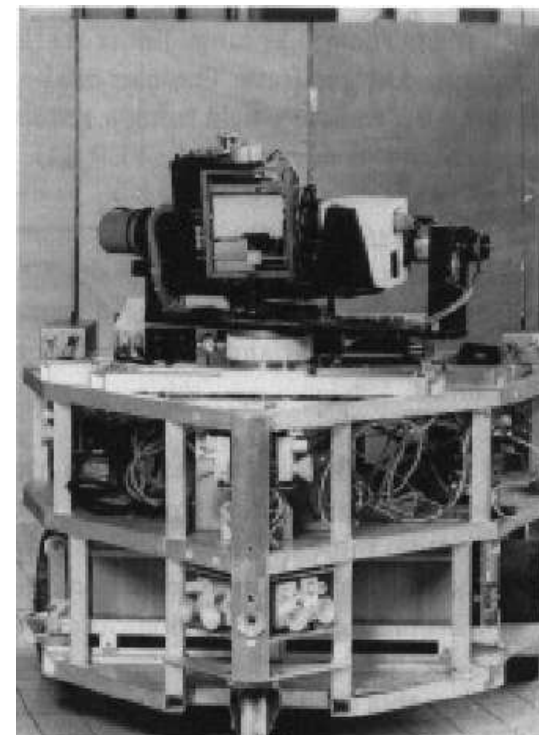
- ◊ Sensores de visão e contado
- ◊ Planificador por segmentos
- ◊ Controle deliberativo



## Os Primeiros Robôs Móveis (Terrestres)

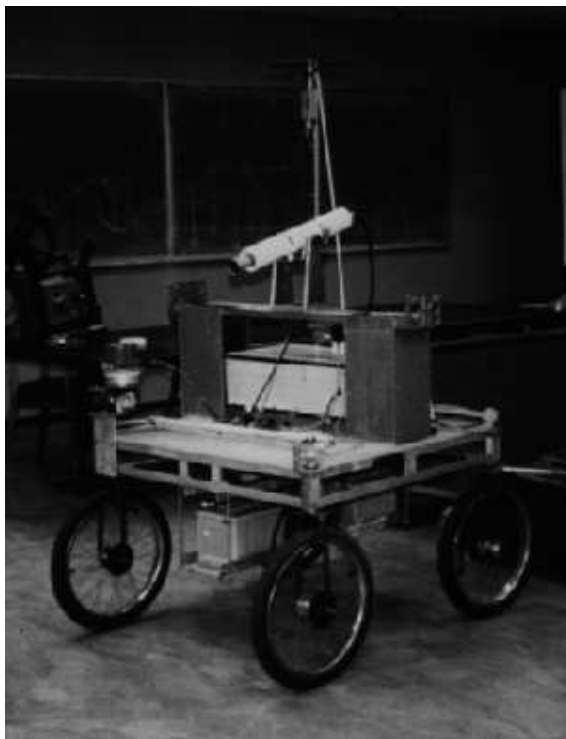
- Hilare: LAAS (final dos anos 70)

- ◊ Sensores de visão, ultra-som e lidar
  - ◊ Controle deliberativo

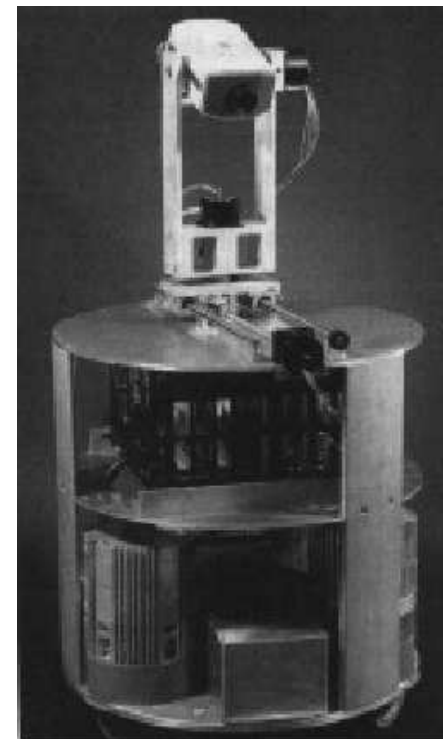


## Os Primeiros Robôs Móveis (Terrestres)

- Stanford Cart / CMU Rover: Hans Moravec (1977/1983)



Stanford Cart



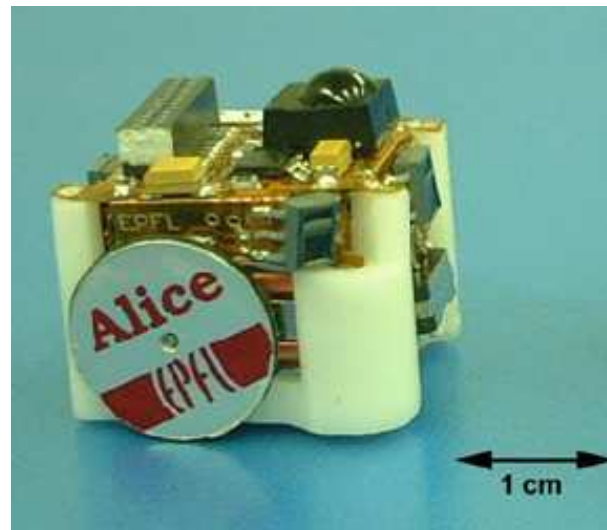
CMU Rover

## Desenvolvimentos Recentes

- EPFL, Suíça.



Pigmalion



Alice

## Desenvolvimentos Recentes

- LAAS, França.



Adam

## Desenvolvimentos Recentes

- LIRMM, França.



Omni



6x6

## Desenvolvimentos Recentes

- LIRMM, França.



Type 1

## Desenvolvimentos Recentes

- Universidad de Zaragoza, Espanha.



Familia Pioneer

## Desenvolvimentos Recentes

- Universität Bonn, Alemanha.



Tourguide

## Desenvolvimentos Recentes

- Carnegie Mellon University, Estados Unidos.



Minerva



Assistente



CTA

## Desenvolvimentos Recentes

- Stanford University, Estados Unidos.



Segbot



Minemap

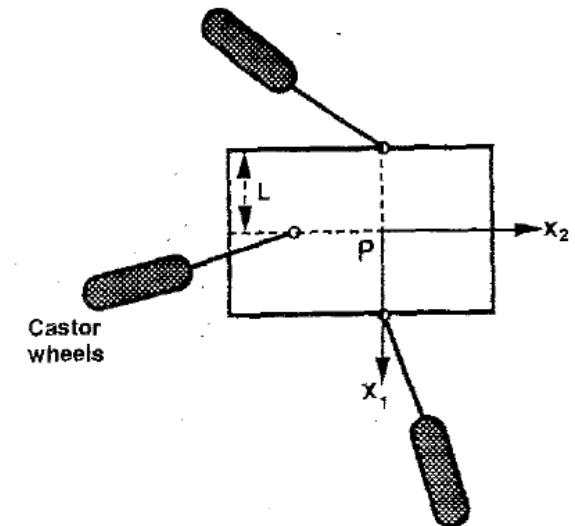
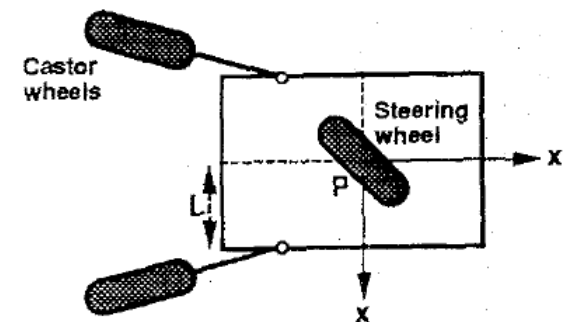
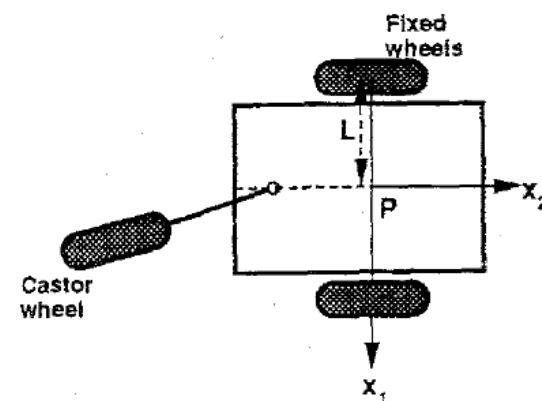
## Parte II - Desenvolvimento de Robôs Móveis

- Estrutura Mecânica e Arquitetura Eletrônica
- Modelamento Matemático
- Controle de Movimento
- Percepção e Localização
- Cartografia
- Planejamento de Trajetórias



## Estrutura Mecânica e Arquitetura Eletrônica

- Modelos de tração [Campion et al., 1996]

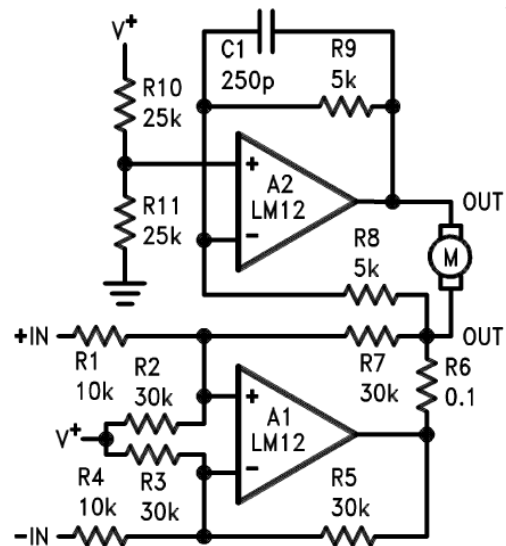


(Diferencial)

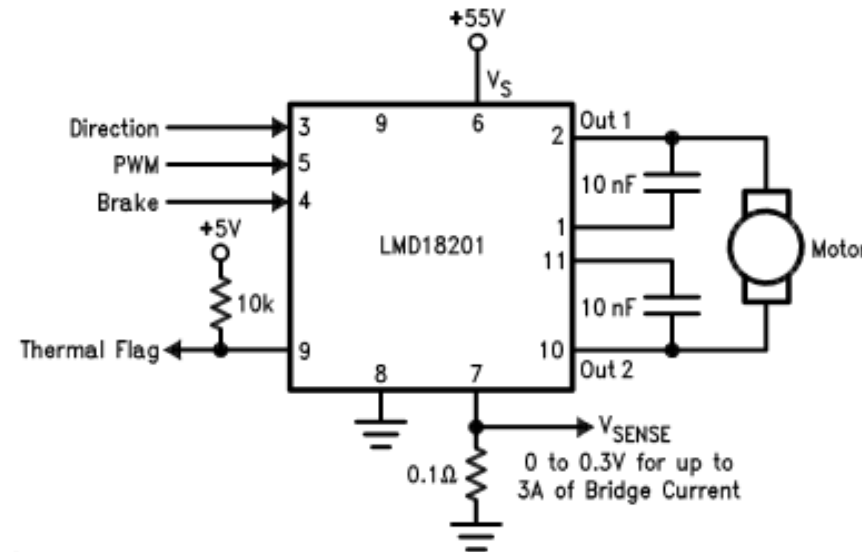
## Estrutura Mecânica e Arquitetura Eletrônica

- Acionamentos:

- Fontes de corrente controladas por tensão.
- Fontes de tensão controladas por tensão.



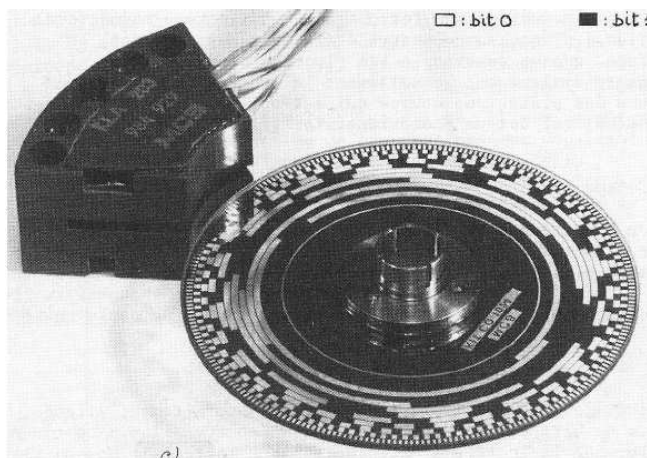
Linear



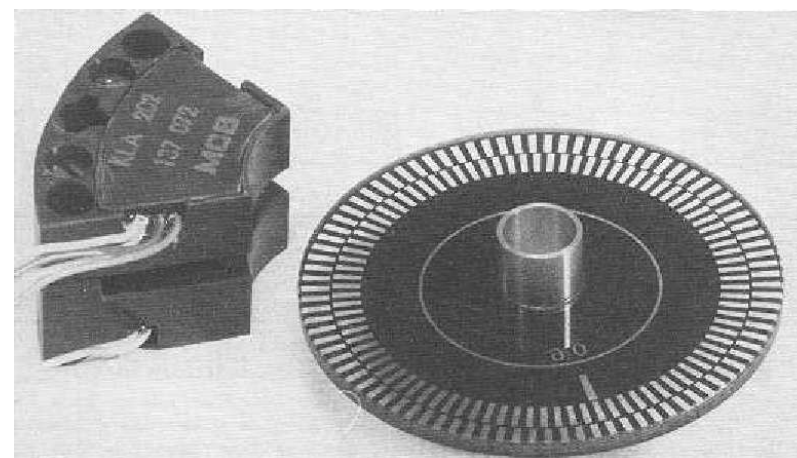
Chaveado

## Estrutura Mecânica e Arquitetura Eletrônica

- Sensores para a tração:
  - Corrente: resistências calibradas, sensor a efeito Hall;
  - Velocidade: tacômetros, codificadores ópticos incrementais;
  - Posição: codificadores ópticos absolutos, potenciômetros;



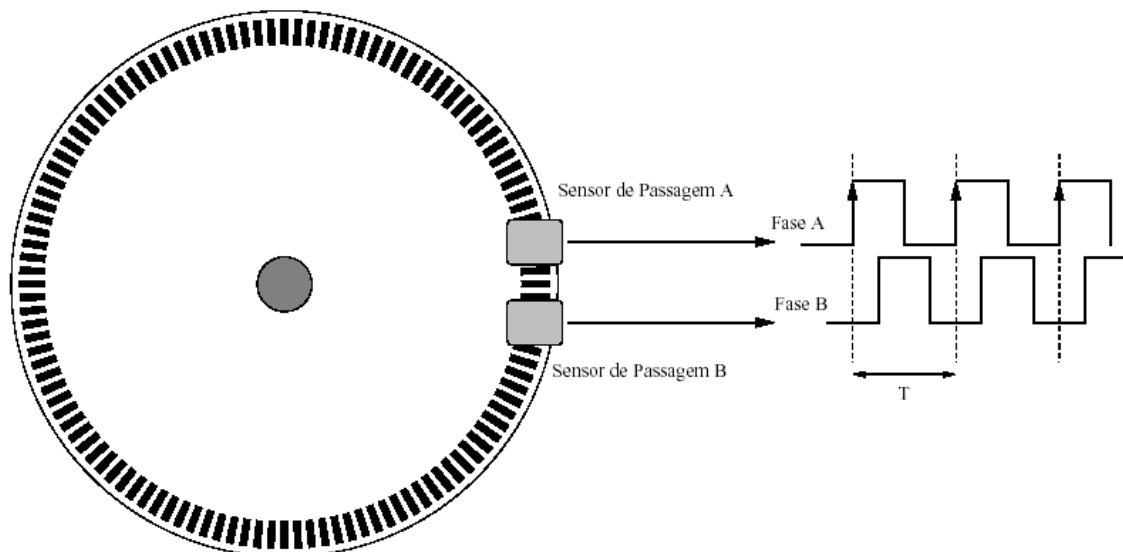
Codificador Absoluto



Codificador Incremental

## Estrutura Mecânica e Arquitetura Eletrônica

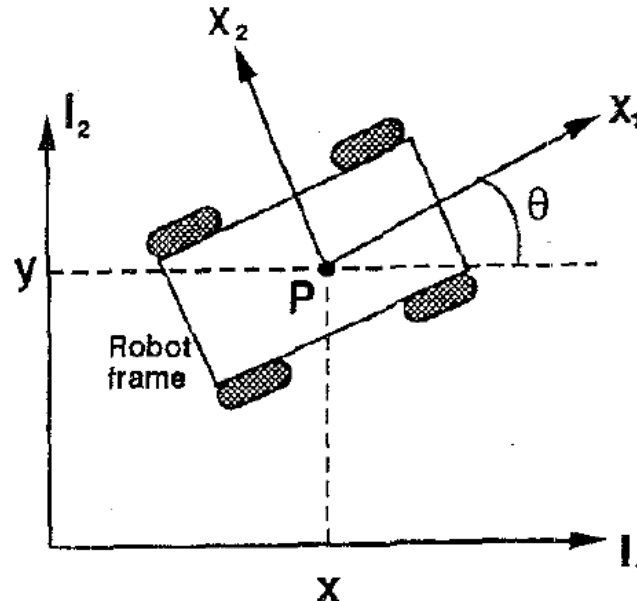
- Sensores para a tração:
  - Corrente: resistências calibradas, sensor a efeito Hall;
  - Velocidade: tacômetros, codificadores ópticos incrementais;
  - Posição: codificadores ópticos absolutos, potenciômetros;



## Modelamento Matemático

- Modelo cinemático [Campion et al., 1996]

- ◊ Sistemas de coordenadas.
  - ◊ Postura:  $\xi = (x, y, \theta)$

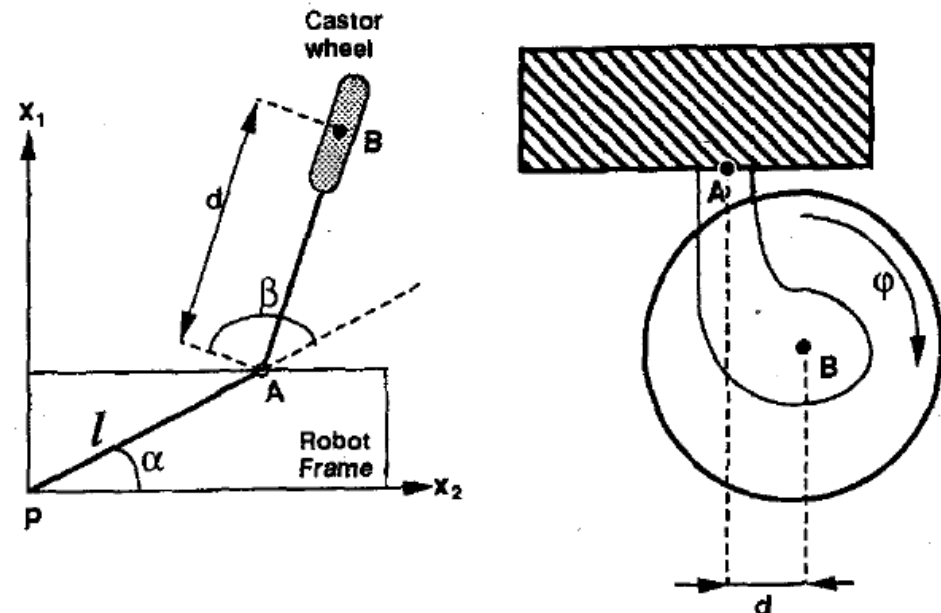


## Modelamento Matemático

- Modelo cinemático [Campion et al., 1996]

- ◊ Sistemas de coordenadas.
- ◊ Postura:  $\xi = (x, y, \theta)$
- ◊ Variáveis articulares:  $\mathbf{q} = (\beta, \varphi)$
- ◊ Parâmetros Geométricos:  

$$\lambda_i = (l_i, \alpha_i, d_i, r_i)$$



## Modelamento Matemático

- Modelo cinemático [Campion et al., 1996]

◊ Restrições da i-ésima roda:

$$\begin{bmatrix} -\sin(\alpha_i + \beta_i) & \cos(\alpha_i + \beta_i) & l_i \cos(\beta_i) \\ \cos(\alpha_i + \beta_i) & \sin(\alpha_i + \beta_i) & d_i + l_i \sin(\beta_i) \end{bmatrix} \mathbf{R}(\theta) \dot{\boldsymbol{\xi}} + r_i \dot{\varphi}_i = 0$$

◊ Considerando as restrições, obtém-se o Modelo Cinemático Inverso (MCI)

$$\dot{\mathbf{q}} = \mathbf{J}(\theta, \lambda) \dot{\boldsymbol{\xi}}$$

◊ Ou ainda, o Modelo Cinemático Direto (MCD)

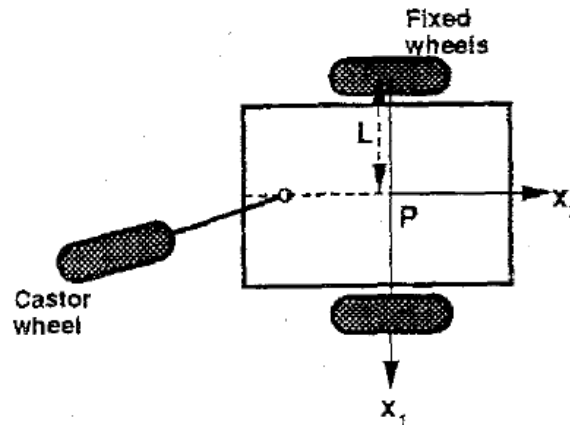
$$\dot{\boldsymbol{\xi}} = \mathbf{J}(\theta, \lambda)^{-1} \dot{\mathbf{q}}$$



## Modelamento Matemático

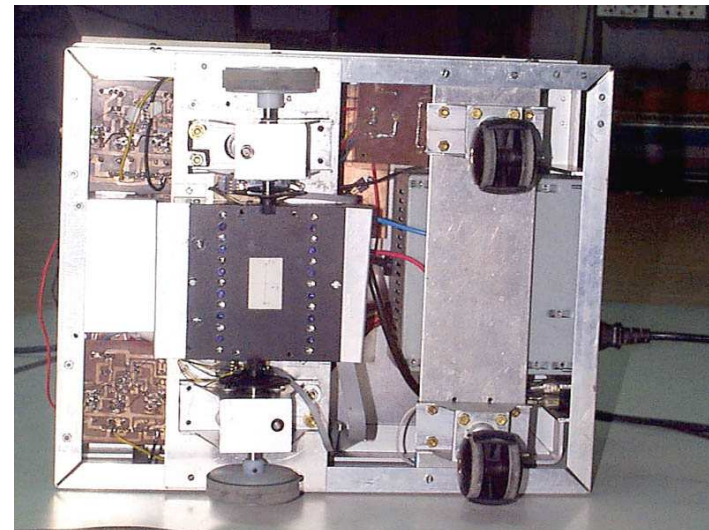
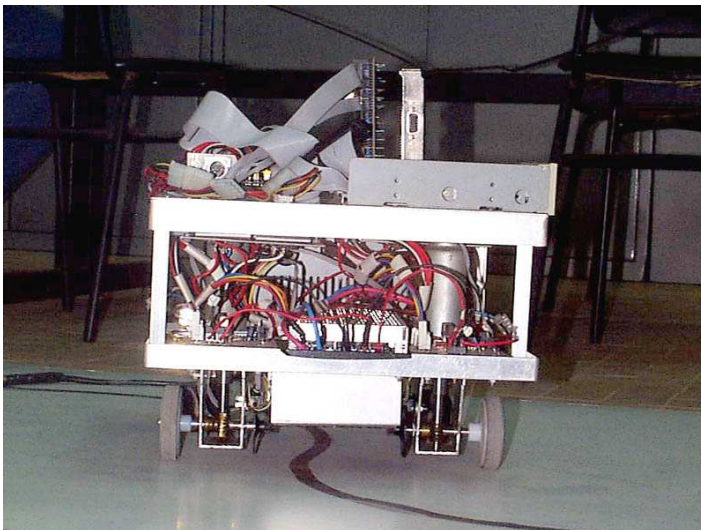
- Modelo cinemático
  - Exemplo: tração diferencial

$$\dot{\xi} = \begin{bmatrix} \dot{x} \\ \dot{y} \\ \dot{\theta} \end{bmatrix} = \begin{bmatrix} \frac{v_d + v_e}{2} \cos(\theta) \\ \frac{v_d + v_e}{2} \sin(\theta) \\ \frac{v_d - v_e}{2l} \end{bmatrix}$$



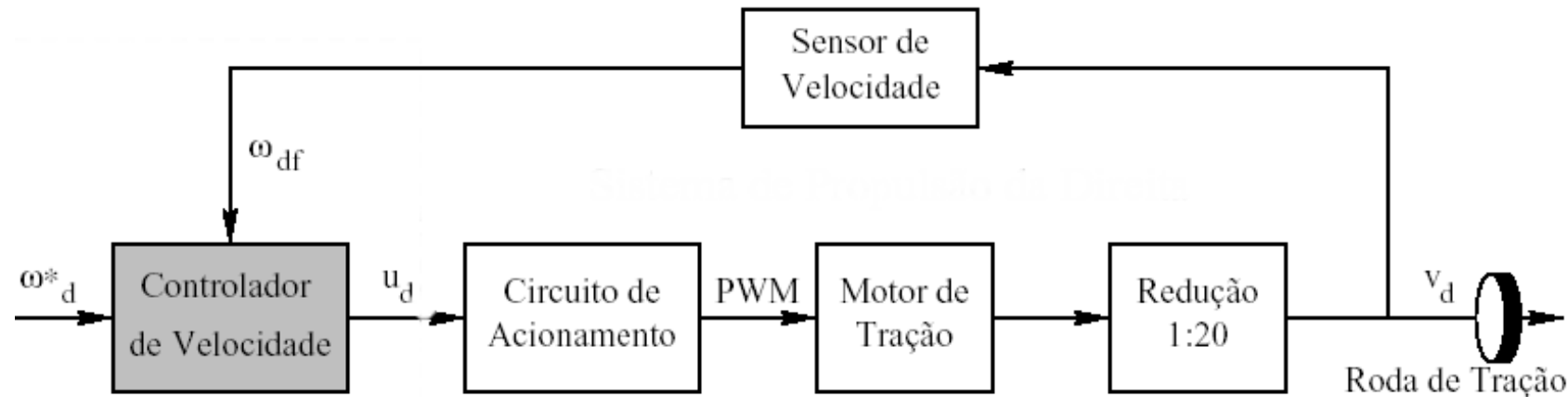
## Controle de Movimento

- Controle de velocidade das rodas de tração [Borges, 1998]



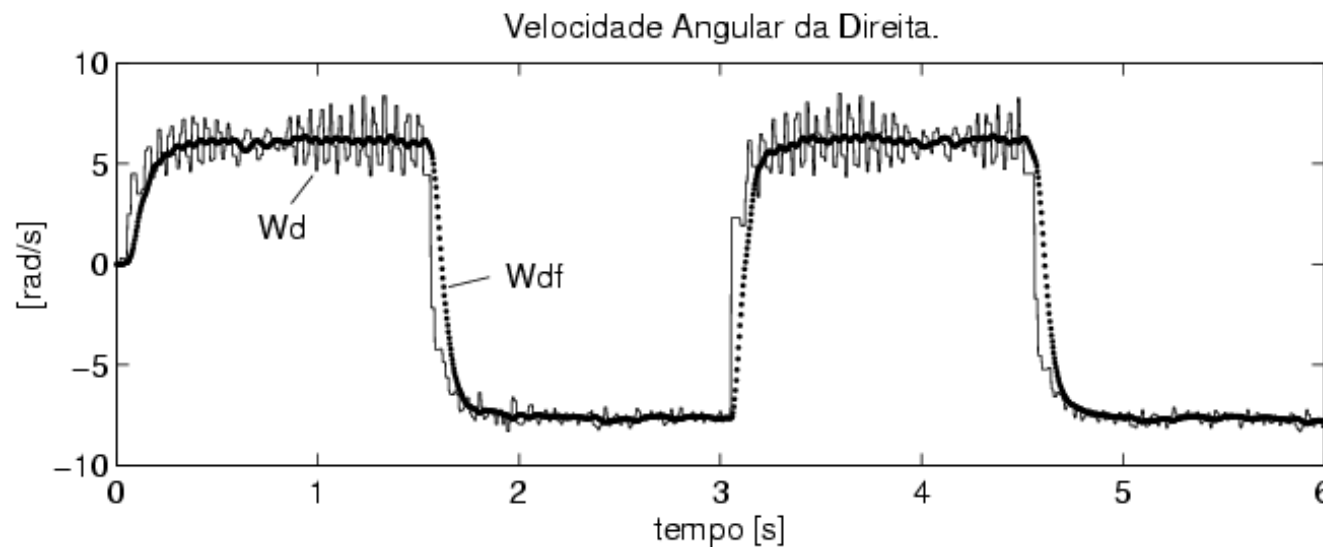
## Controle de Movimento

- Controle de velocidade das rodas de tração [Borges, 1998]
  - Malha de controle:



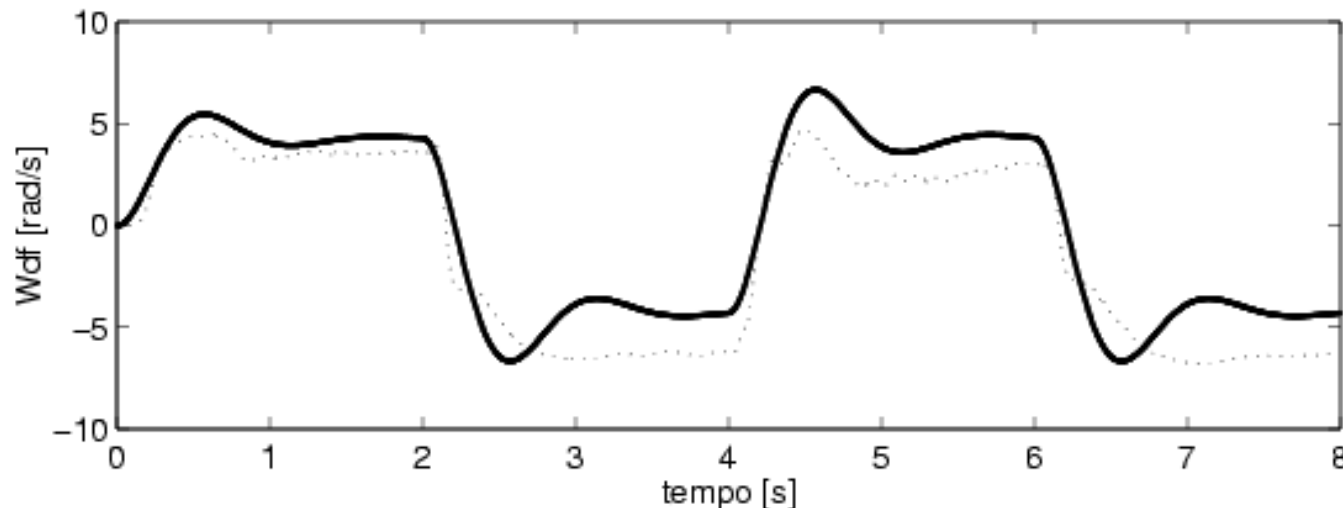
## Controle de Movimento

- Controle de velocidade das rodas de tração [Borges, 1998]
  - Velocidade medida:



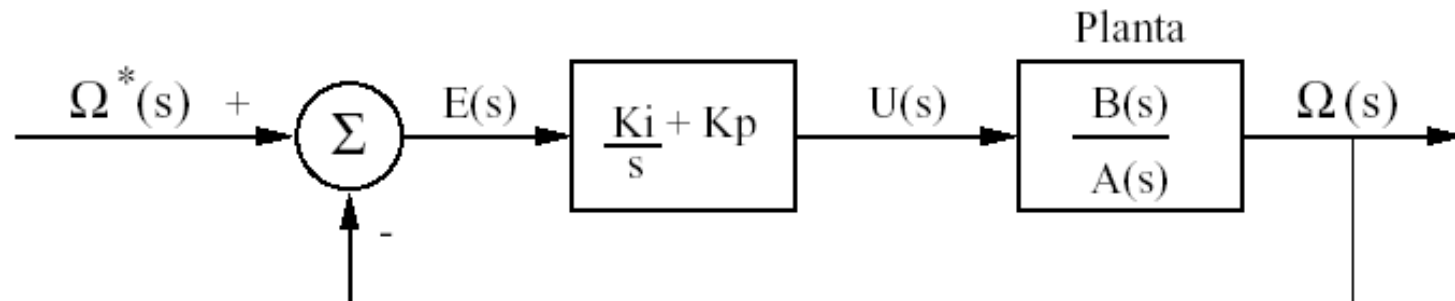
## Controle de Movimento

- Controle de velocidade das rodas de tração [Borges, 1998]
  - Identificação de parâmetros do modelo de tração:



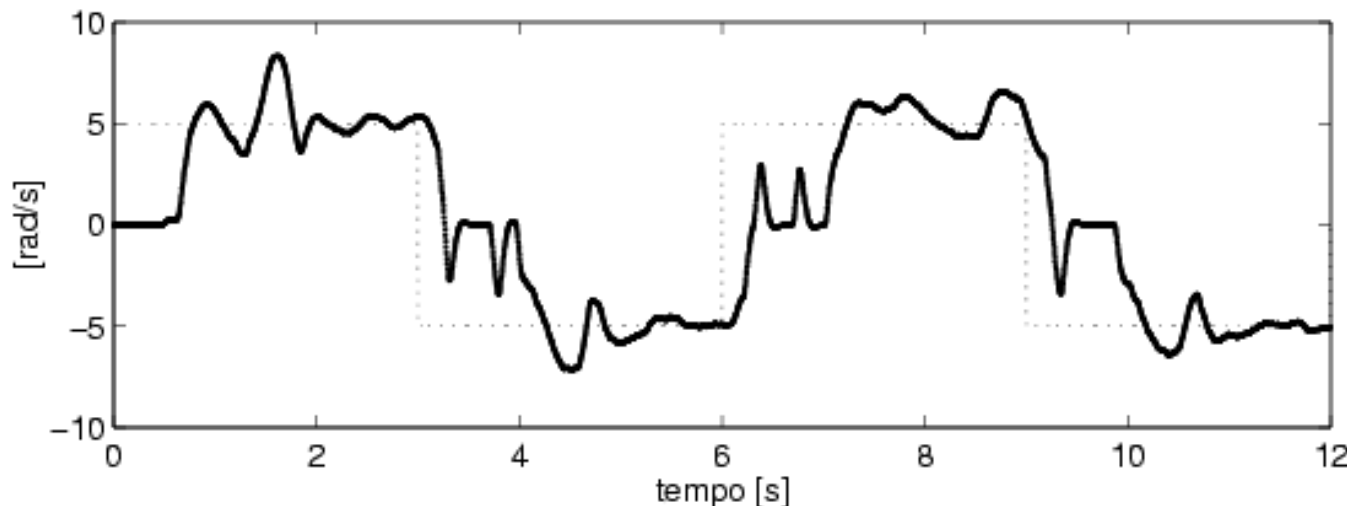
## Controle de Movimento

- Controle de velocidade das rodas de tração [Borges, 1998]
  - Lei de controle proporcional-integral (PI):



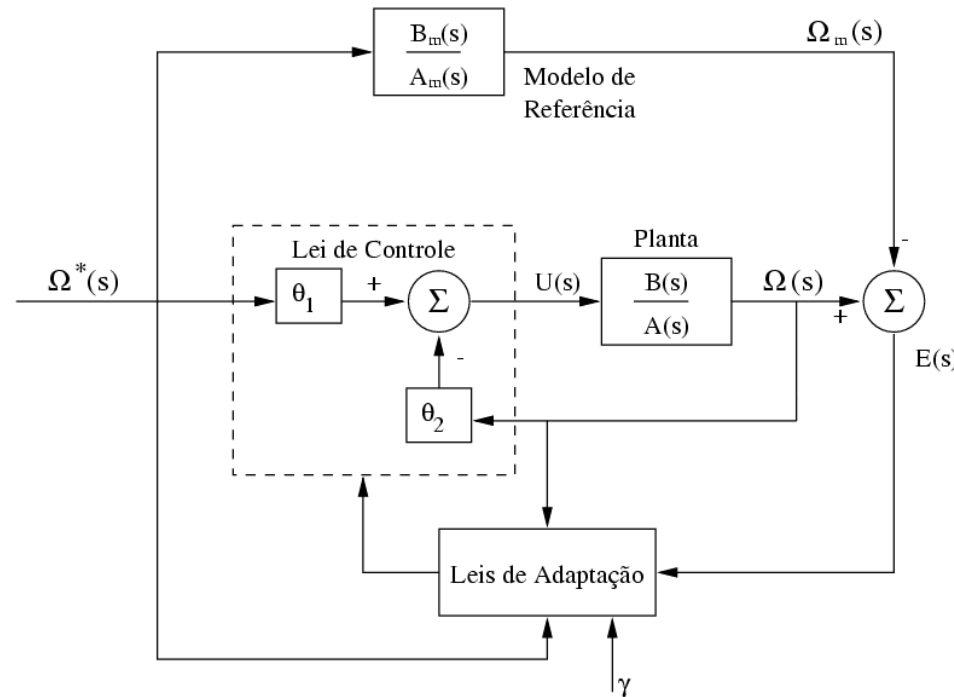
## Controle de Movimento

- Controle de velocidade das rodas de tração [Borges, 1998]
  - Experimento com o controlador PI:



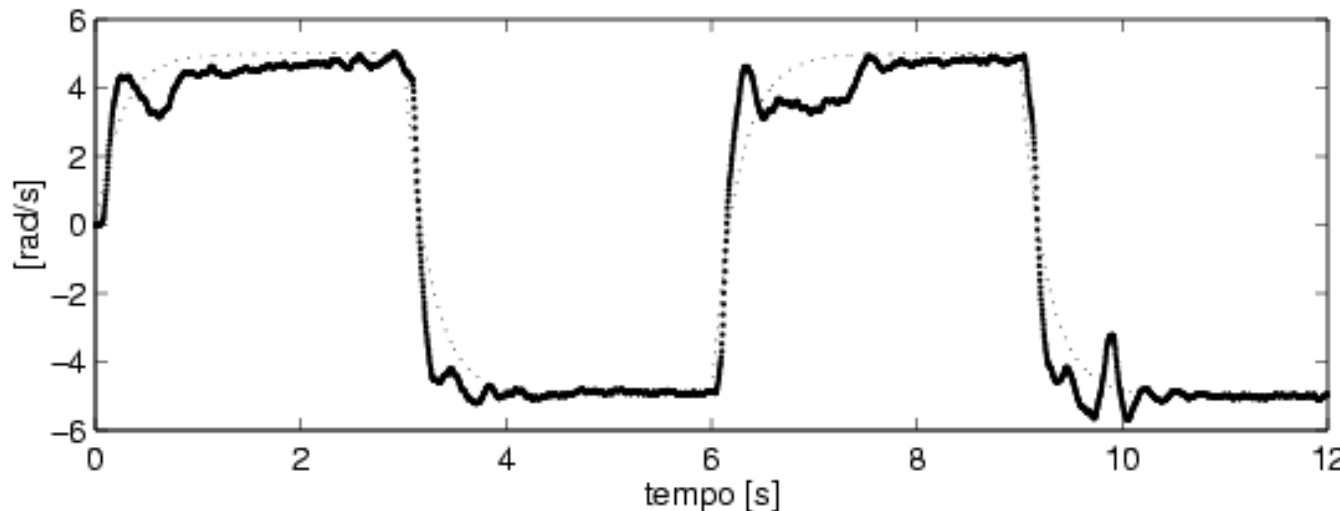
## Controle de Movimento

- Controle de velocidade das rodas de tração [Borges, 1998]
  - Lei de controle adaptativo por modelo de referência (MRAC):



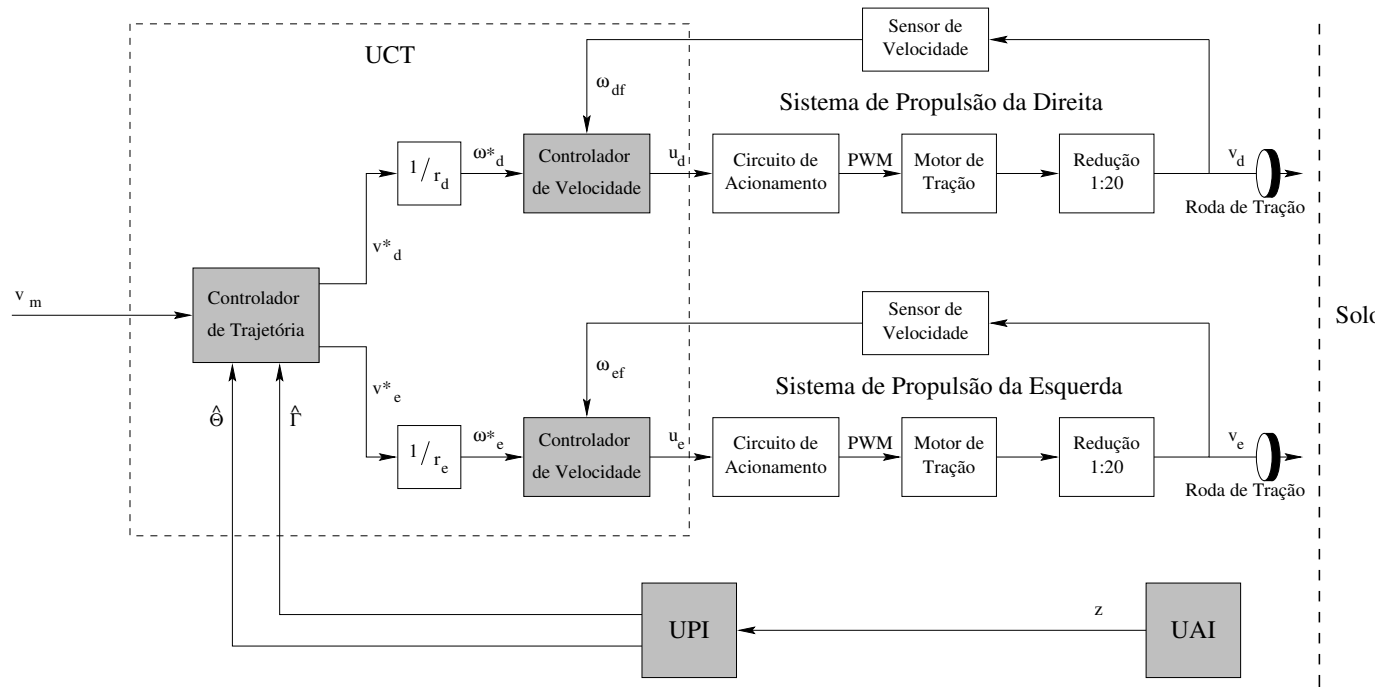
## Controle de Movimento

- Controle de velocidade das rodas de tração [Borges, 1998]
  - Experimento com o controlador MRAC:



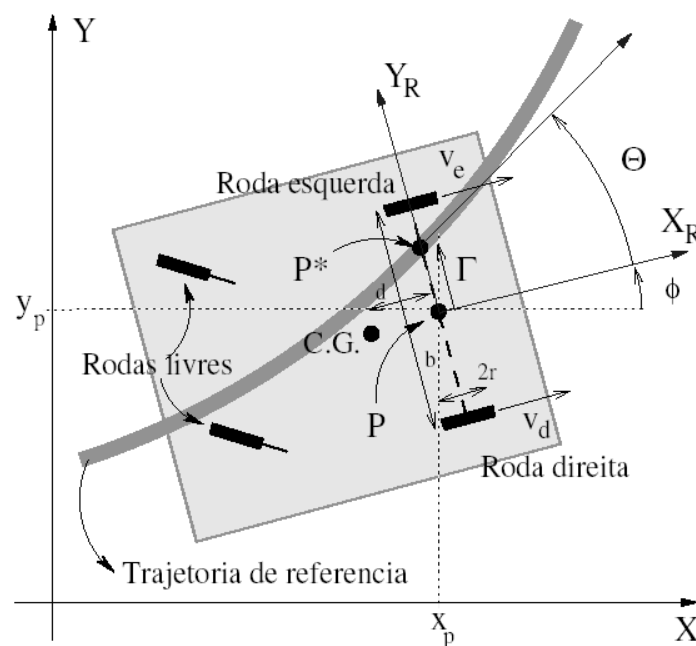
## Controle de Movimento

- Controle de trajetória [Borges et al., 2003]
  - Estrutura geral:



## Controle de Movimento

- Controle de trajetória [Borges et al., 2003]
  - Erro de trajetória:



## Controle de Movimento

- Controle de trajetória [Borges et al., 2003]
  - Lei de controle não-linear:

$$v_d(t) = v_p + r \cdot \Delta\omega(t)$$

$$v_e(t) = v_p - r \cdot \Delta\omega(t)$$

com

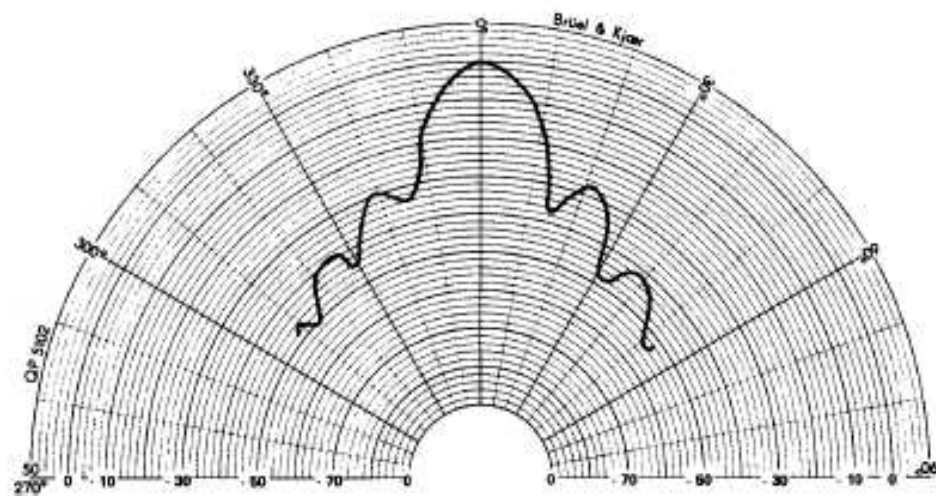
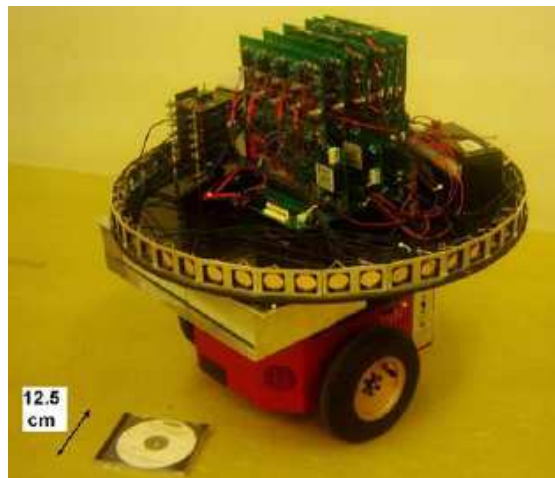
$$\Delta\omega(t) = \frac{b}{2r} \left\{ \frac{\alpha v_p \sin(\Theta) \cos(\Theta)}{\Theta(t)} \Gamma(t) + \beta \Theta(t) \right\}.$$

- Simulador **simctraj**



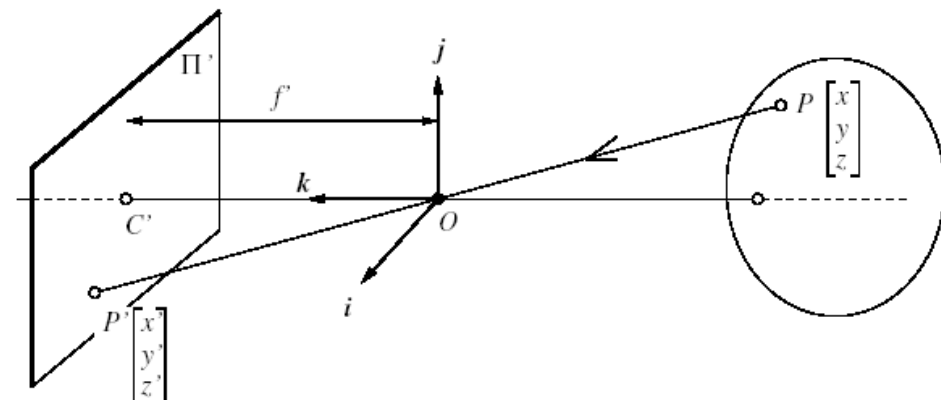
## Percepção do Ambiente

- Sensores exteroceptivos
  - Anéis de ultra-som:



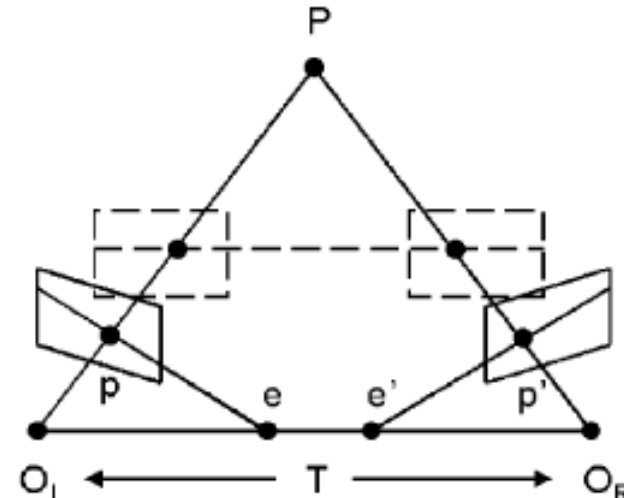
## Percepção do Ambiente

- Sensores exteroceptivos
  - Câmeras de vídeo: montagem mono.



## Percepção do Ambiente

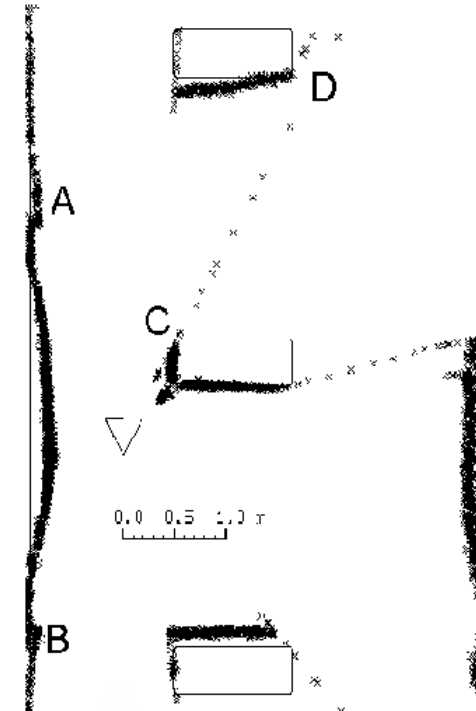
- Sensores exteroceptivos
  - Câmeras de vídeo: montagem estéreo.



[Brown et al., 2003]

## Percepção do Ambiente

- Sensores exteroceptivos
  - Radar a laser (ladar):



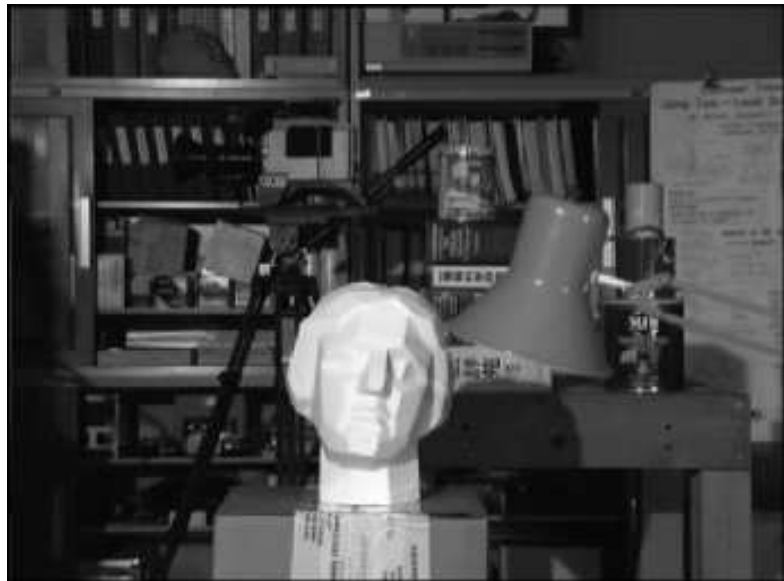
## Percepção do Ambiente

- Processamento de dados sensoriais
  - Câmeras de vídeo: retas verticais de uma imagem



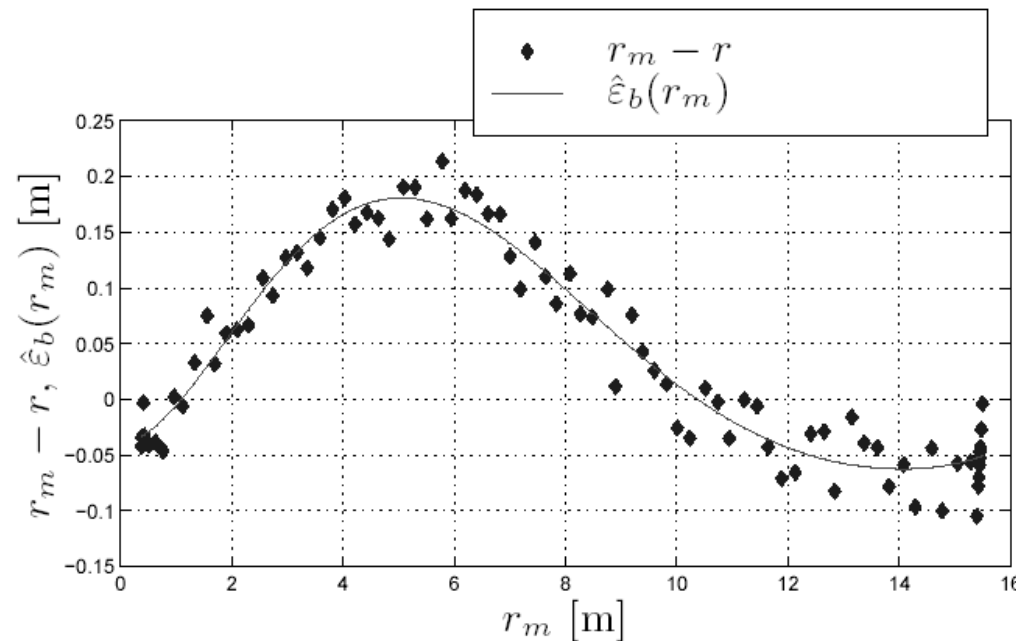
## Percepção do Ambiente

- Processamento de dados sensoriais
  - Câmeras de vídeo: disparidade estéreo [Brown et al., 2003]



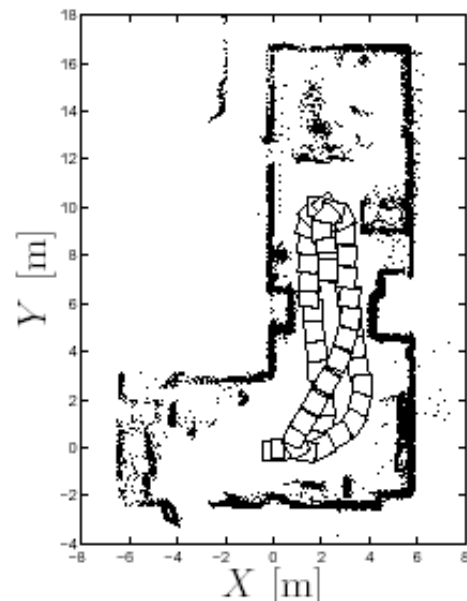
## Percepção do Ambiente

- Processamento de dados sensoriais
  - Radar a laser: estimativa do viés de medição [Borges and Aldon, 2004]

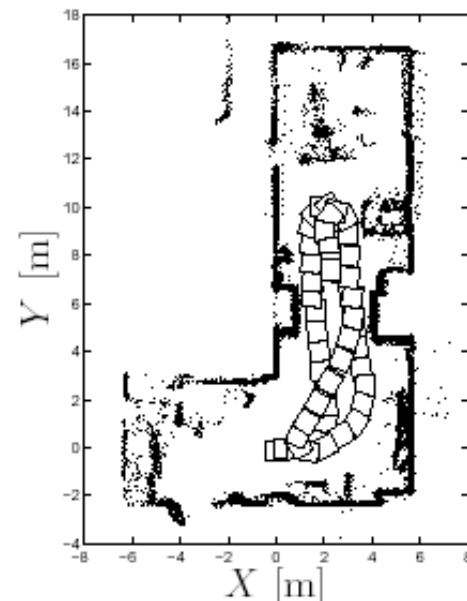


## Percepção do Ambiente

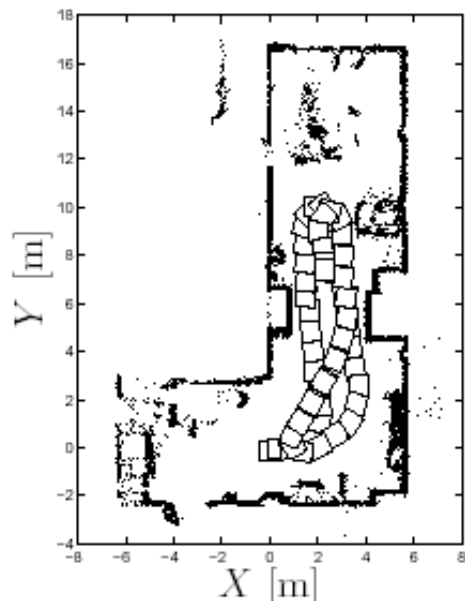
- Processamento de dados sensoriais
  - Radar a laser: compensação de movimento e do viés [Borges and Aldon, 2004]



(a) Raw images



(b) Bias compensation

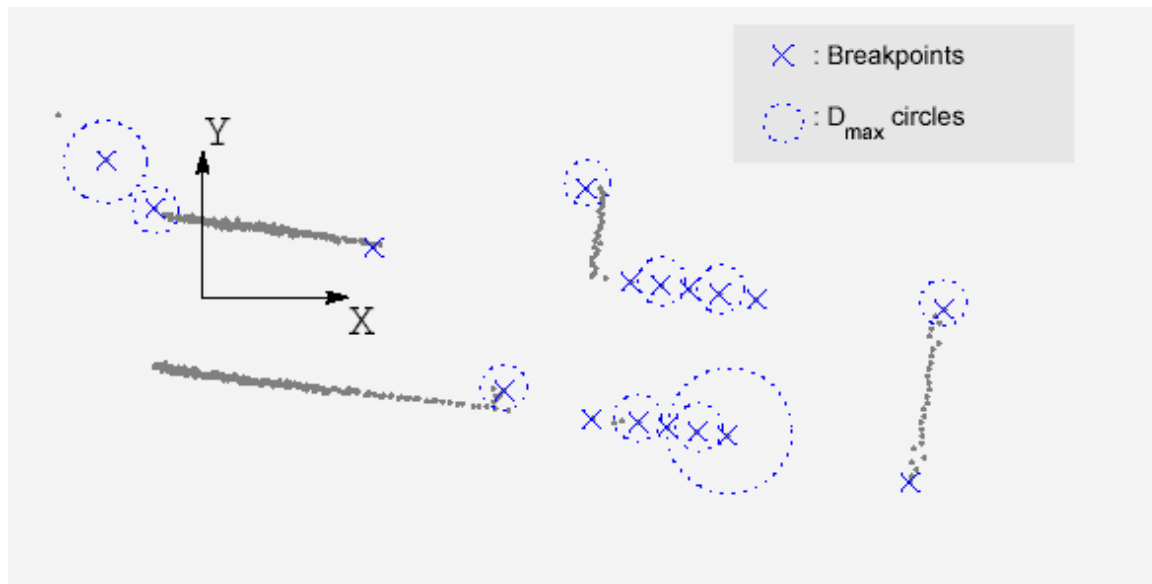


(c) Motion correction



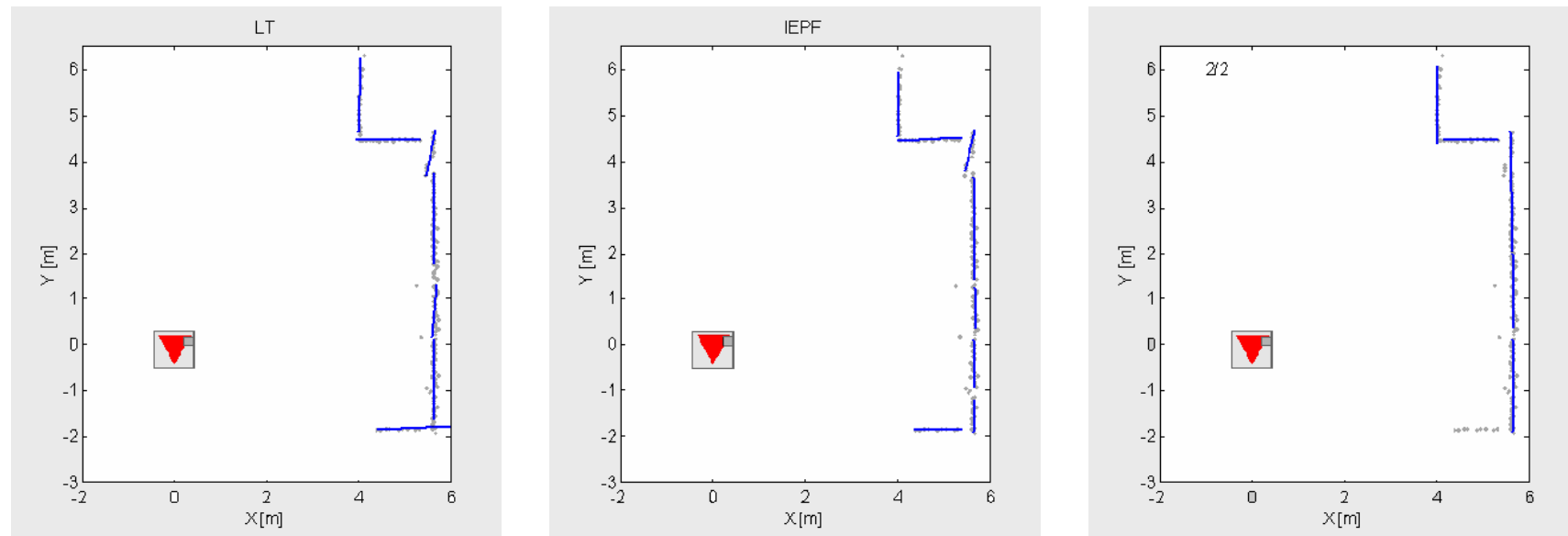
## Percepção do Ambiente

- Processamento de dados sensoriais
  - Radar a laser: extração de pontos de ruptura [Borges and Aldon, 2004]



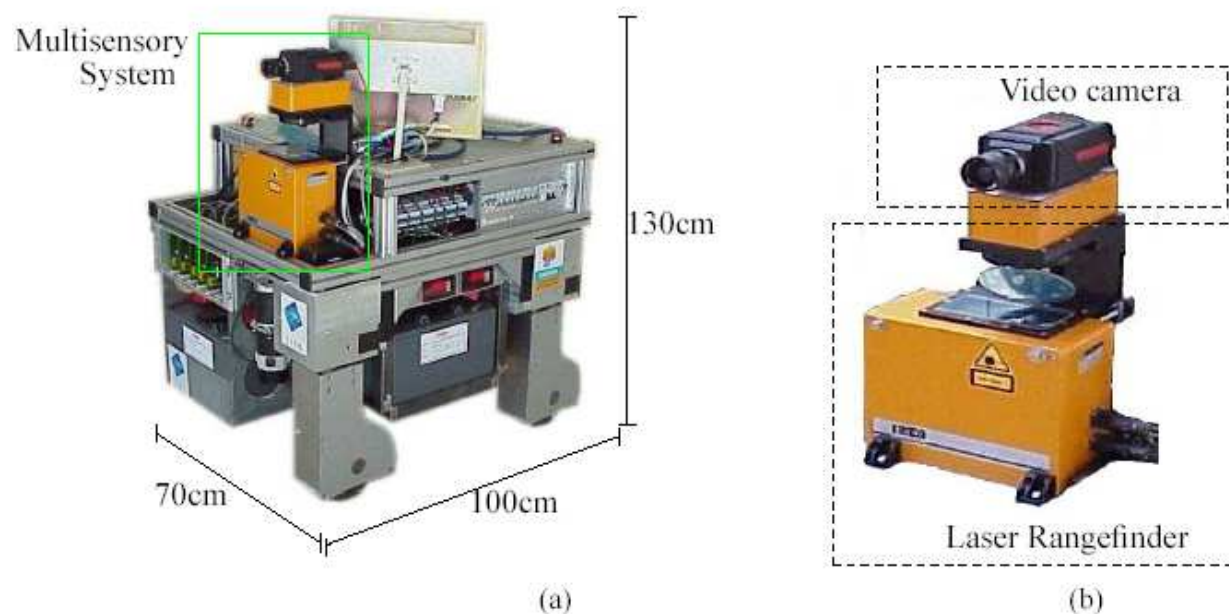
## Percepção do Ambiente

- Processamento de dados sensoriais
  - Radar a laser: extração de segmentos de retas [Borges and Aldon, 2004]



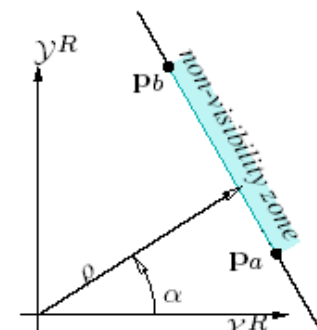
## Percepção do Ambiente

- Construção de mapas locais
  - Sistema multisensorial [Borges, 2002]

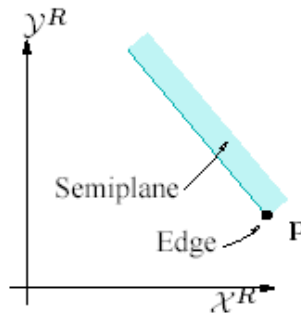


## Percepção do Ambiente

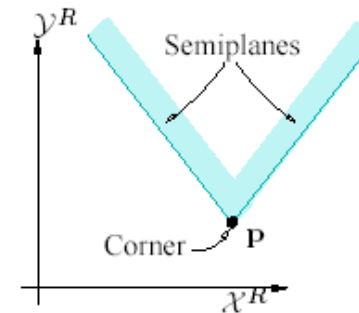
- Construção de mapas locais
  - Estruturas de ambiente [Borges, 2002]



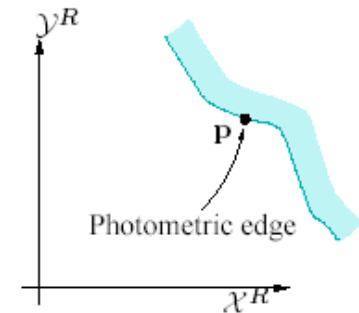
(a) Semiplane



(b) Edge



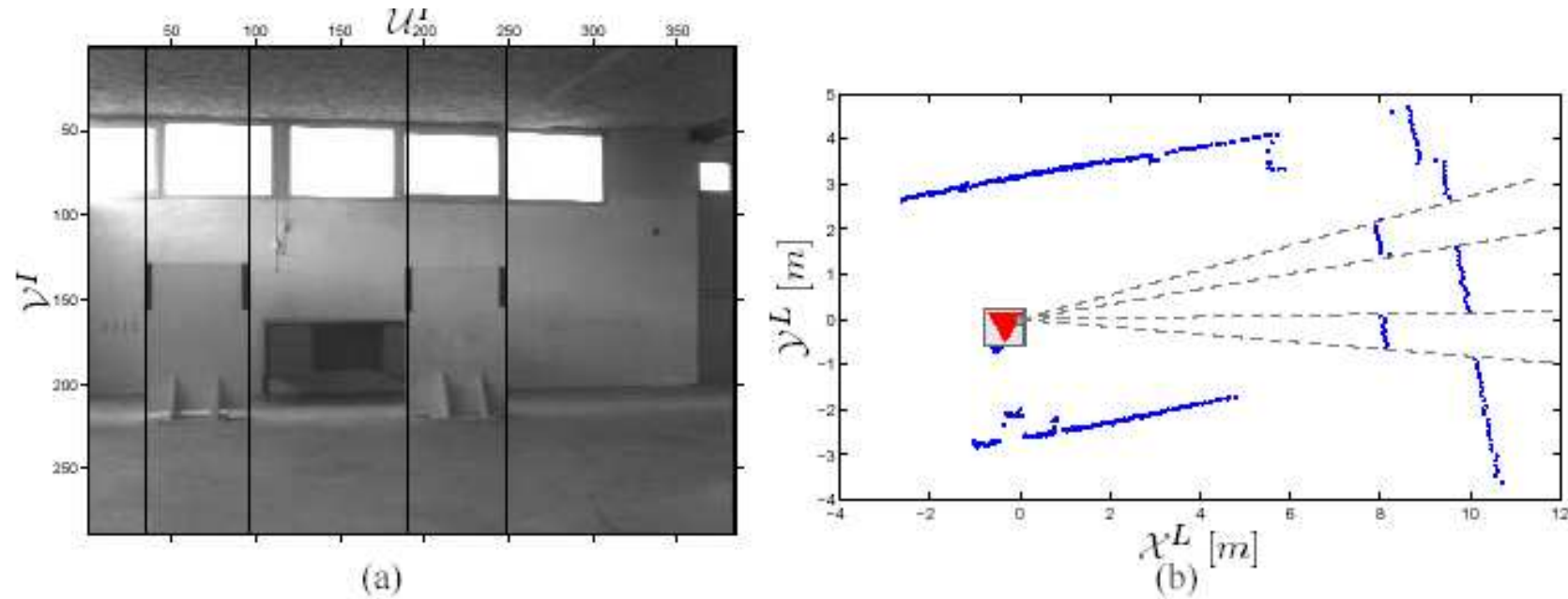
(c) Corner



(d) Photometric edge

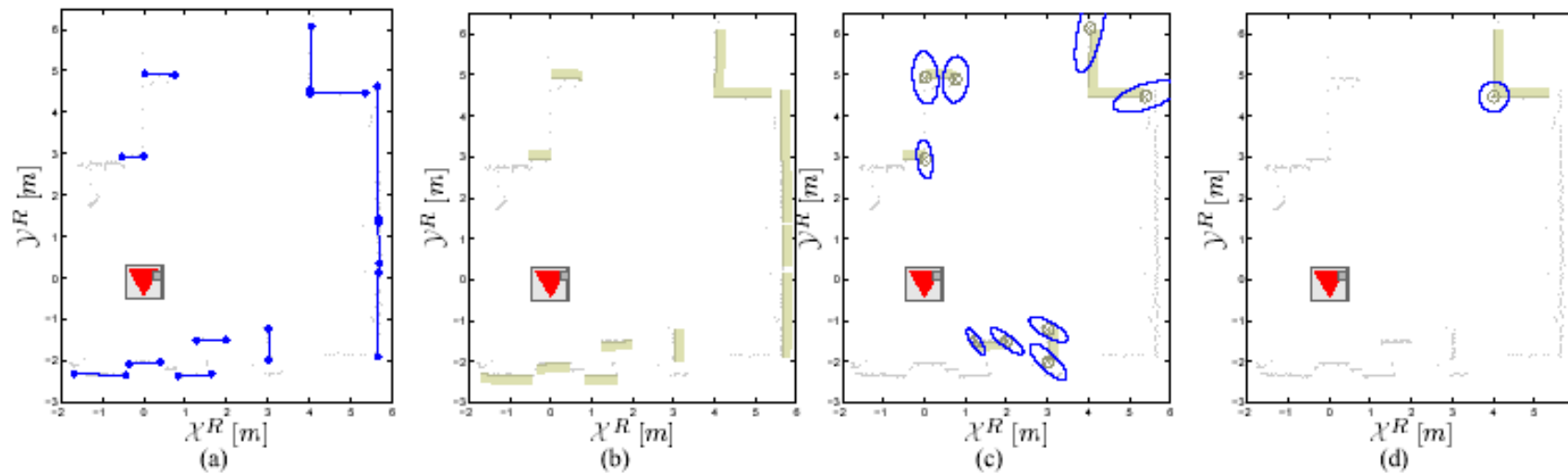
## Percepção do Ambiente

- Construção de mapas locais
  - Complementaridade lidar e câmera [Borges, 2002]



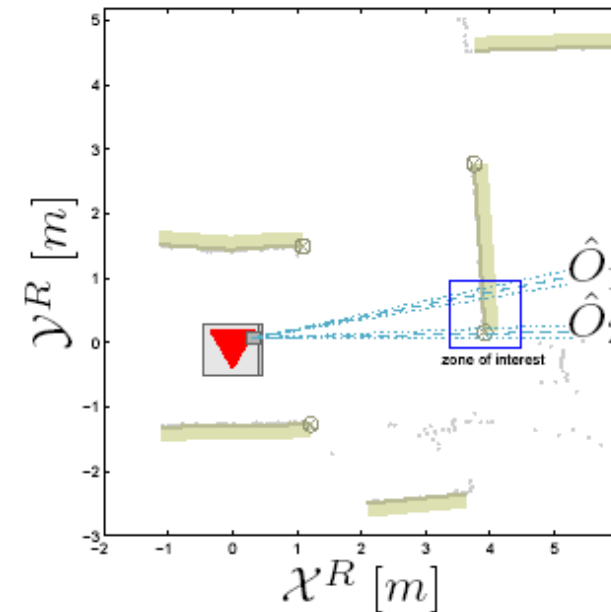
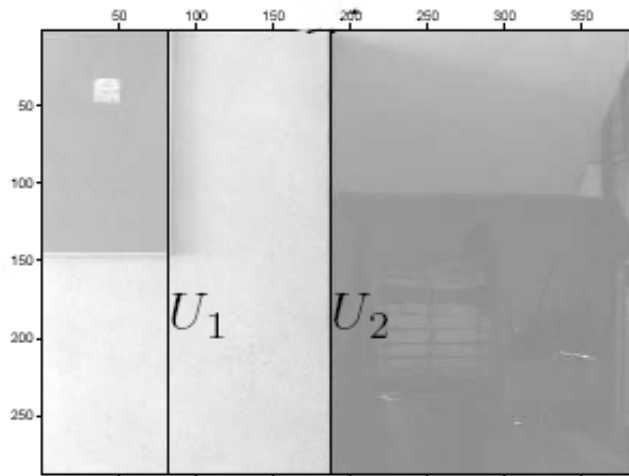
## Percepção do Ambiente

- Construção de mapas locais
  - Primeiro passo: primeira instância do mapa usando imagem lidar [Borges, 2002]



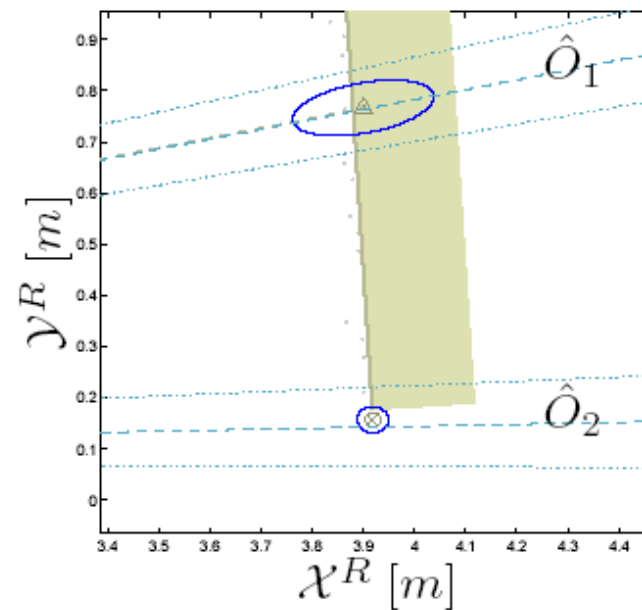
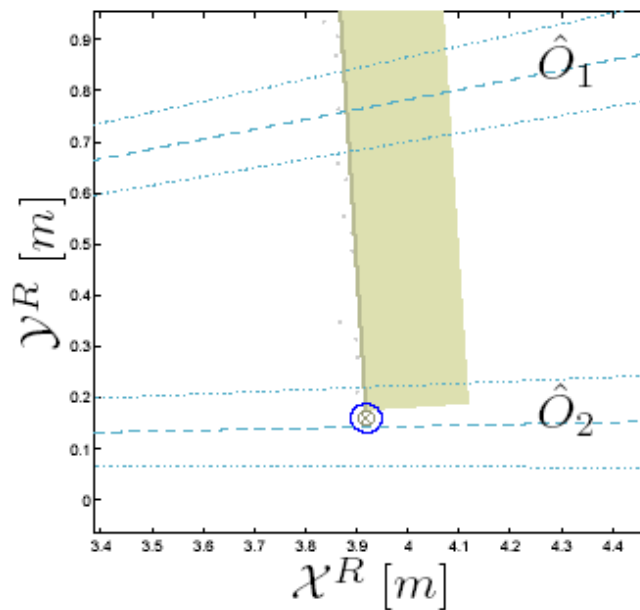
## Percepção do Ambiente

- Construção de mapas locais
  - Segundo passo: fusão usando imagem a câmera[Borges, 2002]



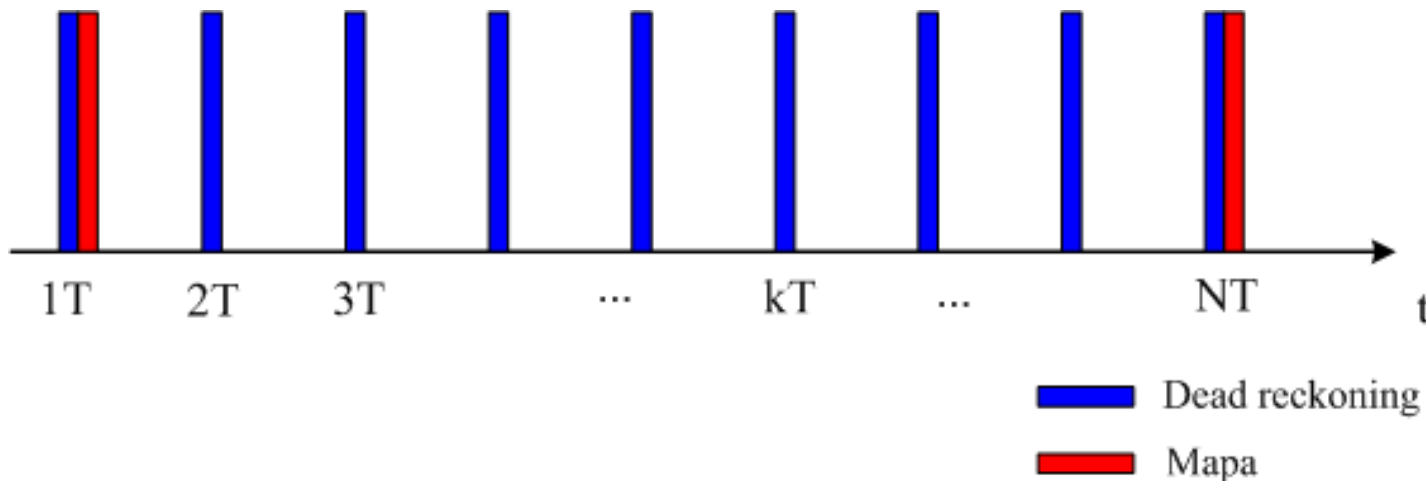
## Percepção do Ambiente

- Construção de mapas locais
  - Segundo passo: fusão usando imagem a câmera[Borges, 2002]



## Localização

- Categorias de localização:
  - Localização relativa (dead reckoning)
  - Localização absoluta por landmarks
  - Localização absoluta por mapas de ambiente



## Localização

- Localização relativa:
  - Sensores proprioceptivos:
    - \* Codificadores ópticos incrementais
    - \* Acelerômetros
    - \* Gyroscópios
    - \* Sensor de campo magnético



## Localização

- Localização relativa:
  - Formulação matemática:
    - \* Discretização do MCD (robô a tração diferencial):

MCD contínuo :

$$\begin{bmatrix} \dot{x} \\ \dot{y} \\ \dot{\theta} \end{bmatrix} = \begin{bmatrix} \frac{v_d+v_e}{2} \cos(\theta) \\ \frac{v_d+v_e}{2} \sin(\theta) \\ \frac{v_d+v_e}{2l} \end{bmatrix}$$

MCD discreto :

$$\begin{bmatrix} x_k \\ y_k \\ \theta_k \end{bmatrix} = \begin{bmatrix} x_{k-1} \\ y_{k-1} \\ \theta_{k-1} \end{bmatrix} + T \cdot \begin{bmatrix} \frac{1}{2}(v_{d,k}+v_{e,k}) \cos(\theta_{k-1}) \\ \frac{1}{2}(v_{d,k}+v_{e,k}) \sin(\theta_{k-1}) \\ \frac{1}{2l}(v_{d,k}-v_{e,k}) \end{bmatrix}$$

- \* Integração usando leituras dos codificadores ópticos (odometria):
 

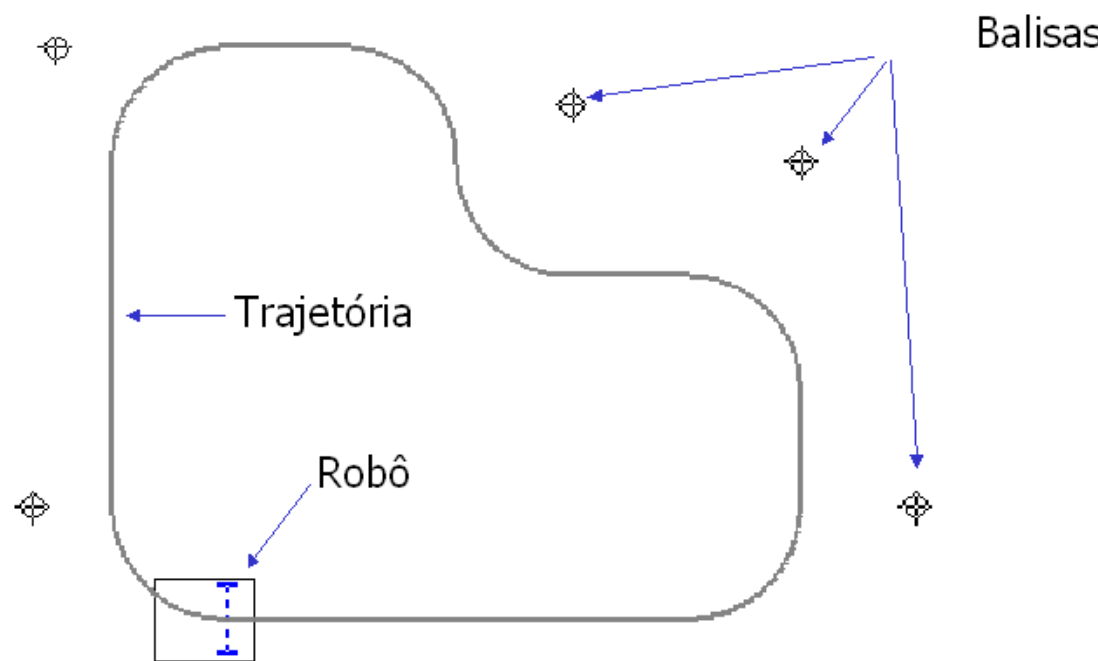
$v_{d,k}$  e  $v_{e,k}$  são as leituras de velocidade obtidas por estes sensores.

- \* Fusão com acelerômetro, giroscópio ou sensor magnético: filtro de Kalman estendido (FKE).
- \* Propagação de incertezas.
- \* Simulador **simloc**



## Localização

- Localização absoluta por landmarks
  - Descrição do problema



## Localização

- Localização absoluta por landmarks
  - Formulação matemática
    - \* Predição da posição por odometria:

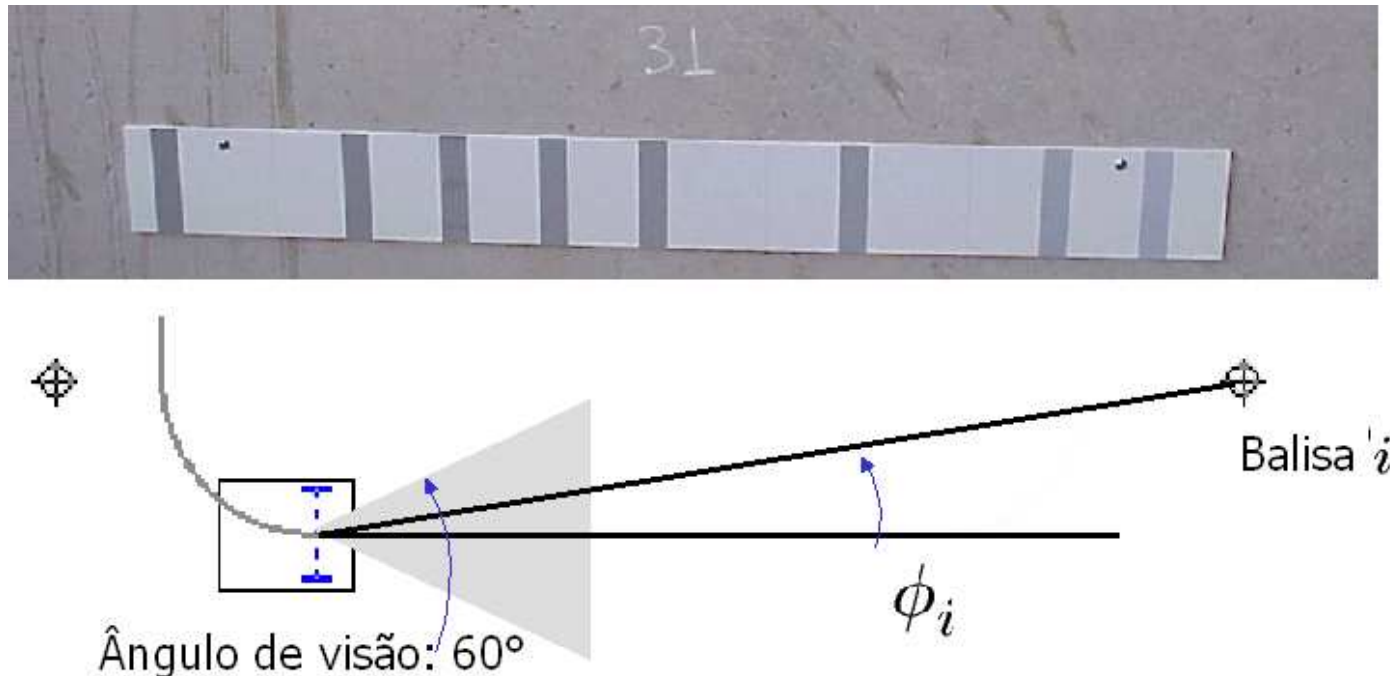
$$\begin{aligned}\boldsymbol{\xi}_{k|k-1} &= \mathbf{f}(\boldsymbol{\xi}_{k-1}, v_{d,k}, v_{e,k}) \\ &= \boldsymbol{\xi}_{k-1} + T \cdot \begin{bmatrix} \frac{1}{2}(v_{d,k} + v_{e,k}) \cos(\theta_{k-1}) \\ \frac{1}{2}(v_{d,k} + v_{e,k}) \sin(\theta_{k-1}) \\ \frac{1}{2l}(v_{d,k} - v_{e,k}) \end{bmatrix}\end{aligned}$$

$$\mathbf{P}_{k|k-1} = \left( \frac{\partial \mathbf{f}}{\partial \boldsymbol{\xi}_{k-1}} \right) \mathbf{P}_{k-1} \left( \frac{\partial \mathbf{f}}{\partial \boldsymbol{\xi}_{k-1}} \right)^T$$

com  $\boldsymbol{\xi} = (x_k, y_k, \theta_k)^T$ .

## Localização

- Localização absoluta por landmarks
  - Formulação matemática
    - \* Correção da predição utilizando os landmarks visíveis:



## Localização

- Localização absoluta por landmarks
  - Formulação matemática
    - \* Medição associada ao  $i$ -ésimo landmark:

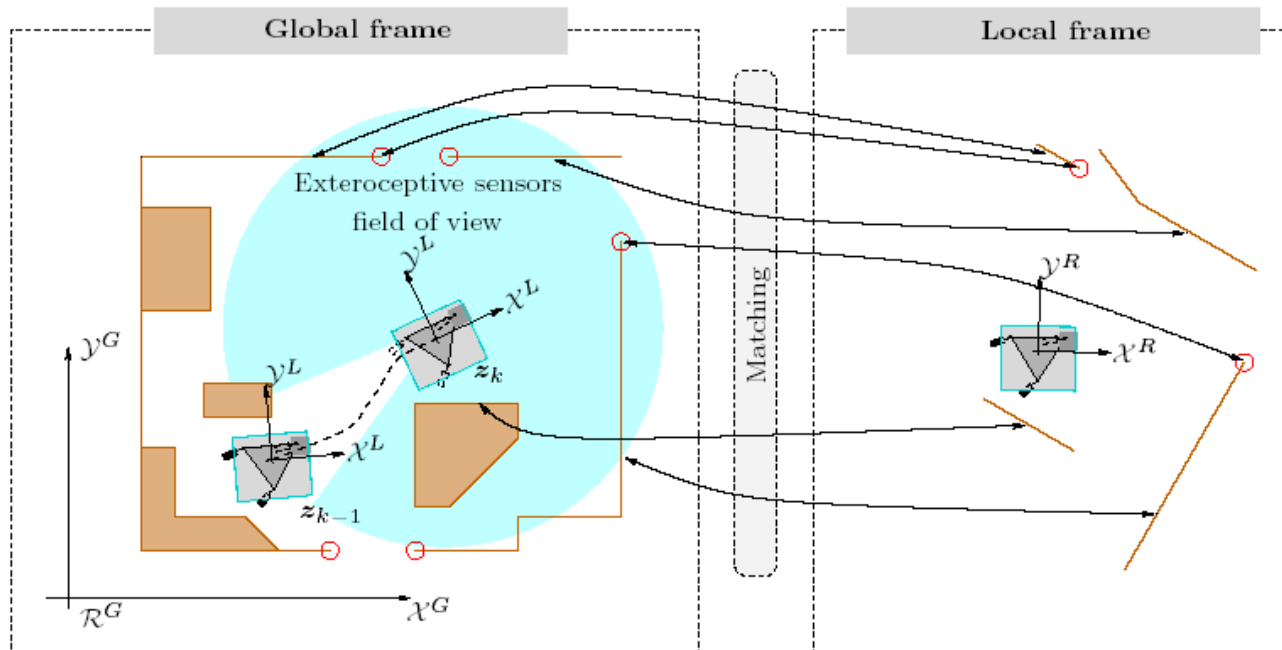
$$\begin{aligned}\phi_i &= \begin{pmatrix} \cos(\theta_k) & \sin(\theta_k) \\ -\sin(\theta_k) & \cos(\theta_k) \end{pmatrix} \cdot \left\{ \begin{pmatrix} x_k \\ y_k \end{pmatrix} - \begin{pmatrix} x_i \\ y_i \end{pmatrix} \right\} \\ \varepsilon_{\phi_i} &\sim \mathcal{N}(0; 0, 25)\end{aligned}$$

- \* Correção de  $\xi_{k|k-1}$  usando Filtro de Kalman Estendido (FKE).
- \* Simulador **simloc**



## Localização

- Localização absoluta por mapas de ambiente: mapas geométricos
  - Solução similar ao caso de landmarks.



[Borges and Aldon, 2003]

## Localização

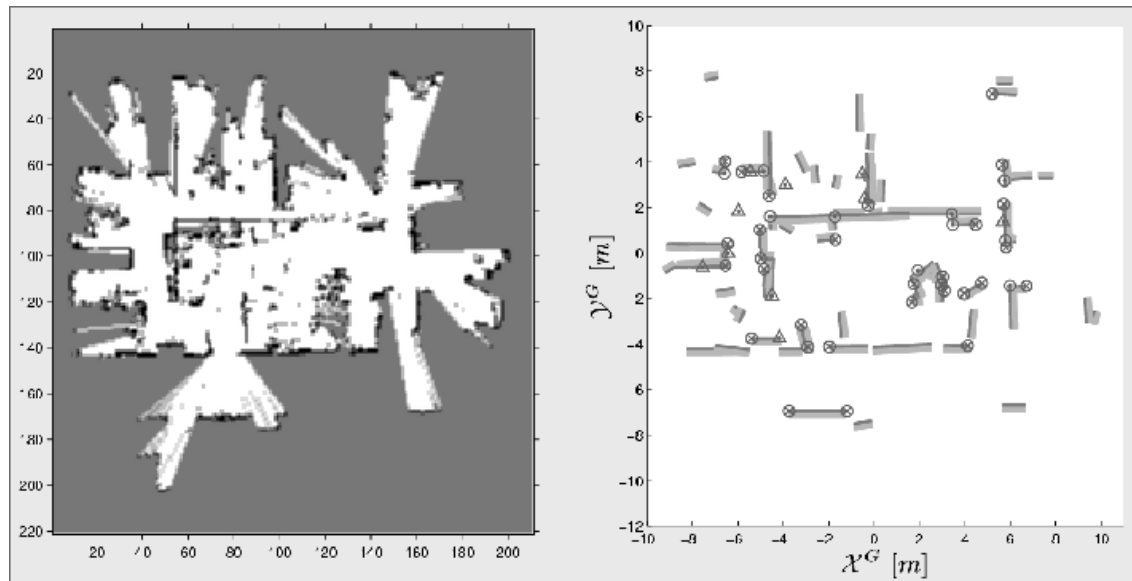
- Localização absoluta por mapas de ambiente: mapas probabilísticos [Moravec and Elfes, 1985]
  - Mapa probabilístico (ou grade de ocupação):



[Thrun, 2000]

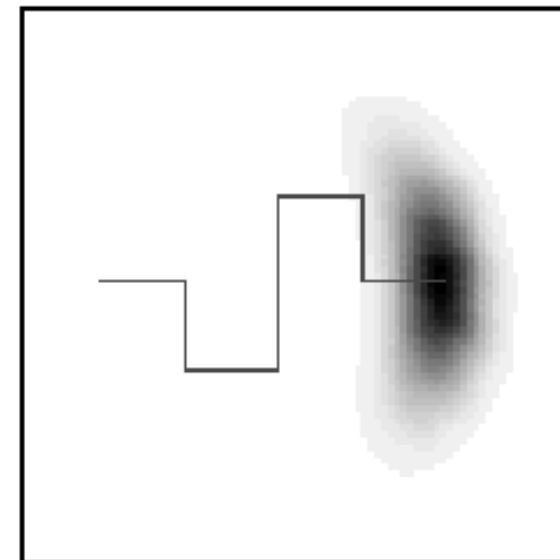
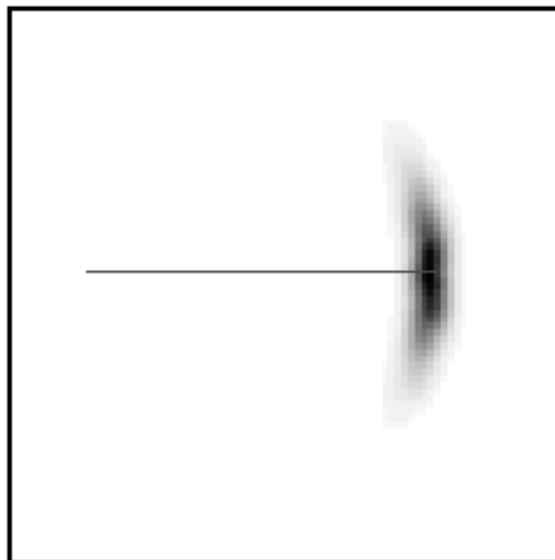
## Localização

- Localização absoluta por mapas de ambiente: mapas probabilísticos [Moravec and Elfes, 1985]
  - Mapa probabilístico vs. mapa geométrico:



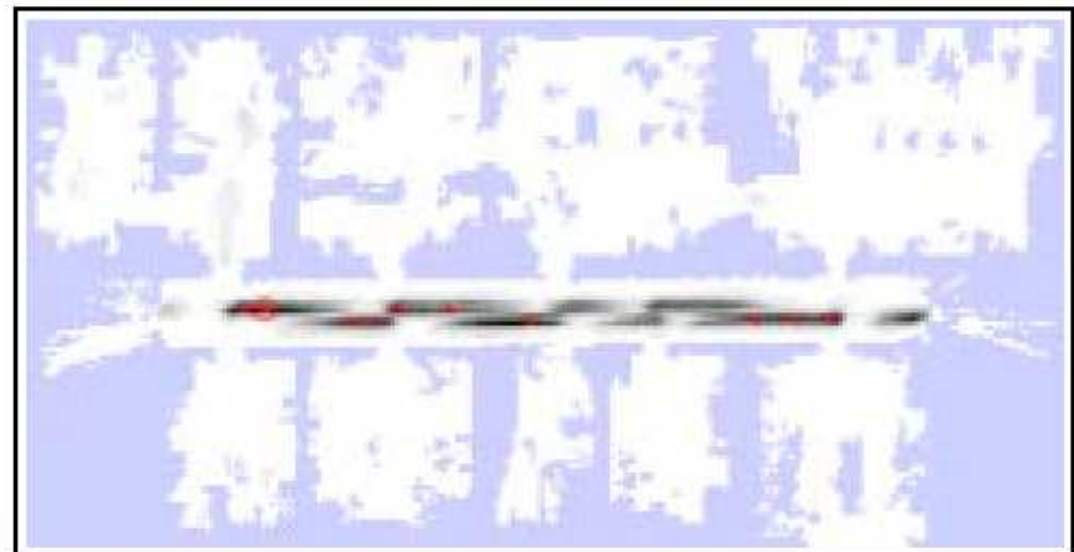
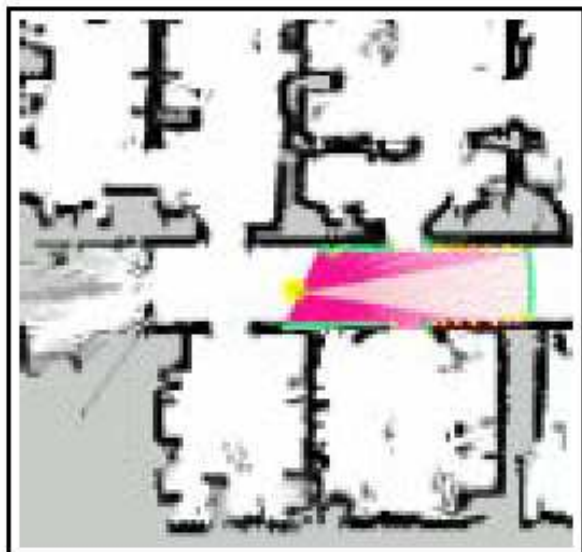
## Localização

- Localização absoluta por mapas de ambiente: mapas probabilísticos [Moravec and Elfes, 1985]
  - Dead reckoning [Thrun, 2000]:



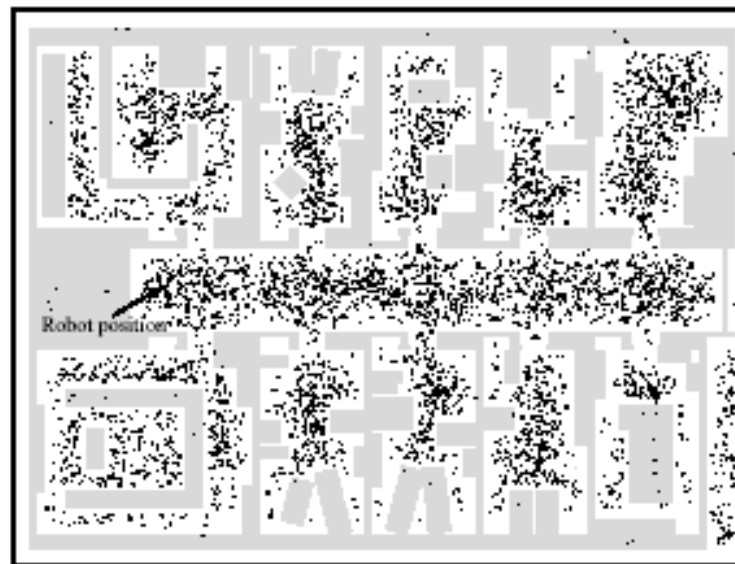
## Localização

- Localização absoluta por mapas de ambiente: mapas probabilísticos [Moravec and Elfes, 1985]
  - Integração sensorial (ladar) [Thrun, 2000]:



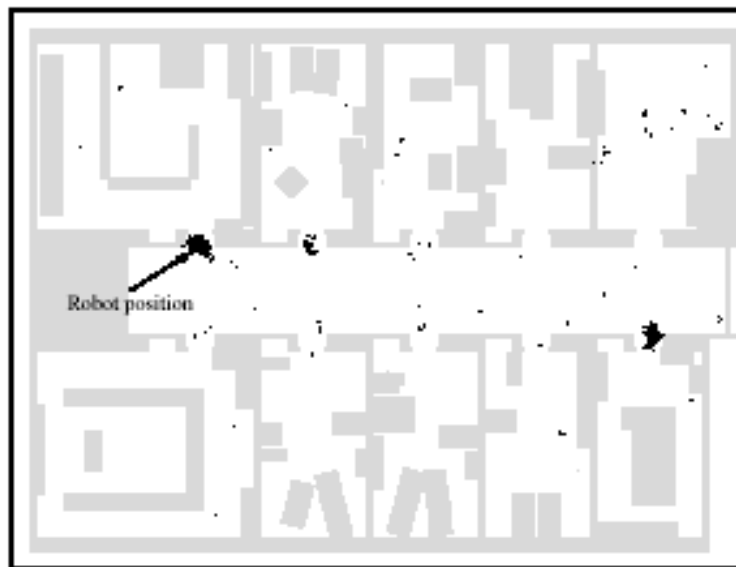
## Localização

- Localização absoluta por mapas de ambiente: mapas probabilísticos [Moravec and Elfes, 1985]
  - Localização por Monte Carlo [Thrun, 2000]:



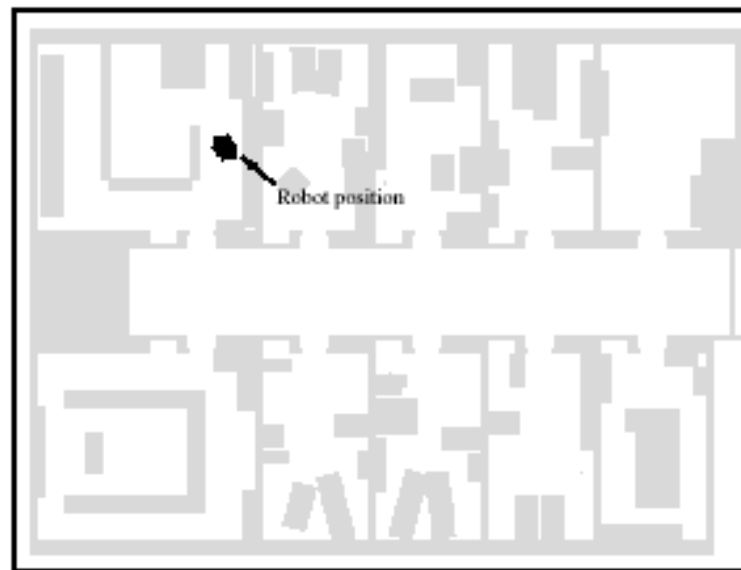
## Localização

- Localização absoluta por mapas de ambiente: mapas probabilísticos [Moravec and Elfes, 1985]
  - Localização por Monte Carlo [Thrun, 2000]:



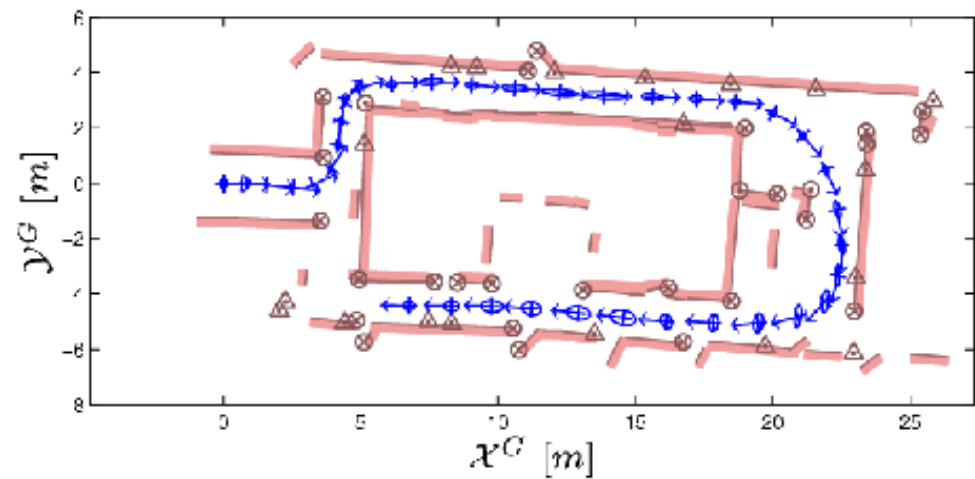
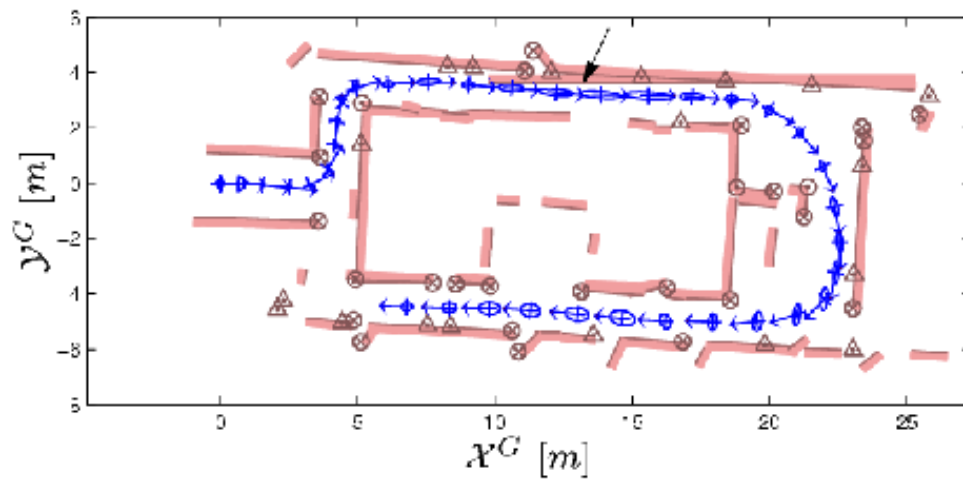
## Localização

- Localização absoluta por mapas de ambiente: mapas probabilísticos [Moravec and Elfes, 1985]
  - Localização por Monte Carlo [Thrun, 2000]:



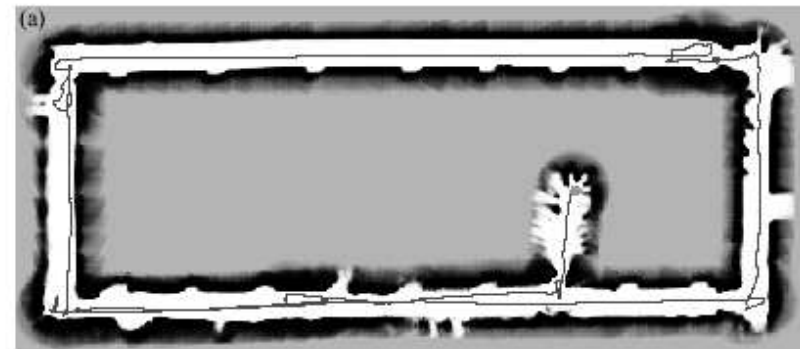
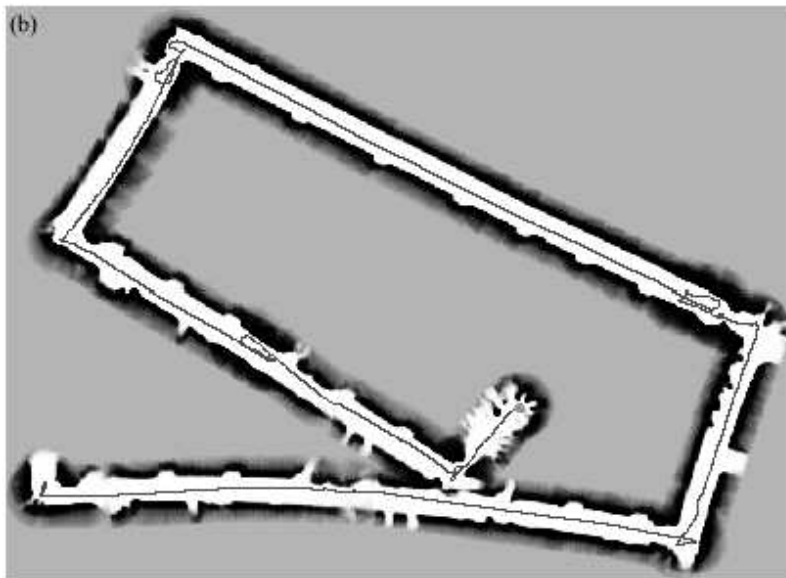
## Cartografia

- Problema bastante difícil, sem garantia de convergência:



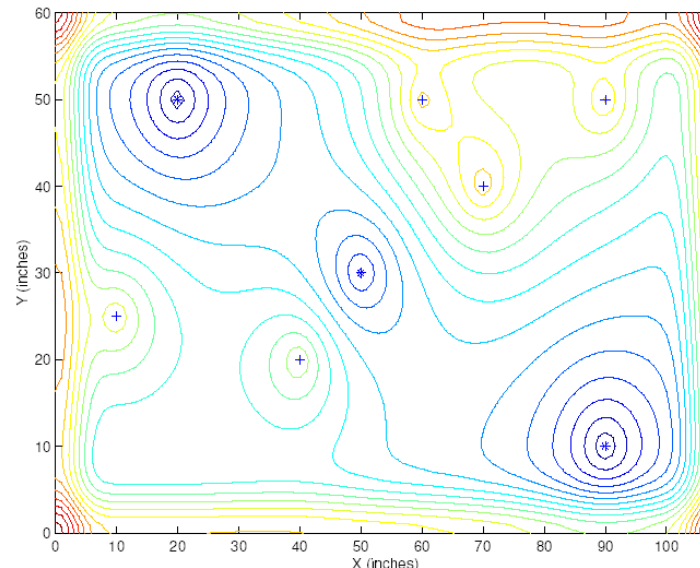
## Cartografia

- Problema bastante difícil, sem garantia de convergência:



## Planejamento de Trajetórias

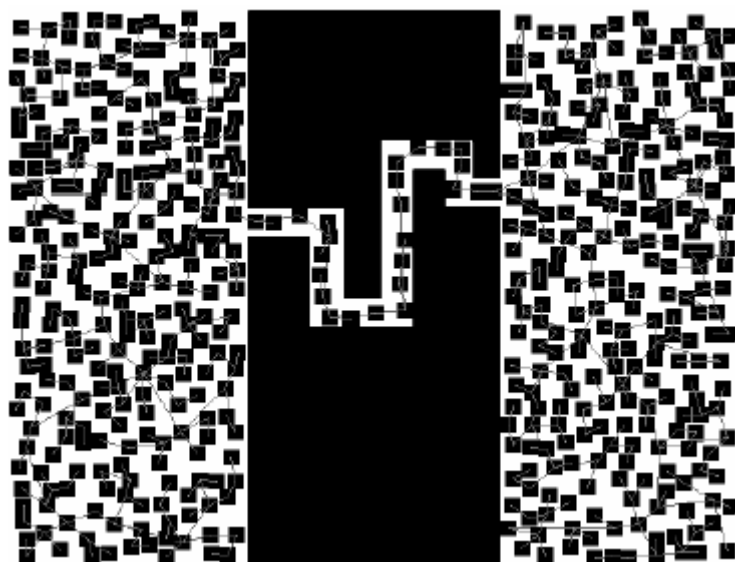
- Campos de potencial



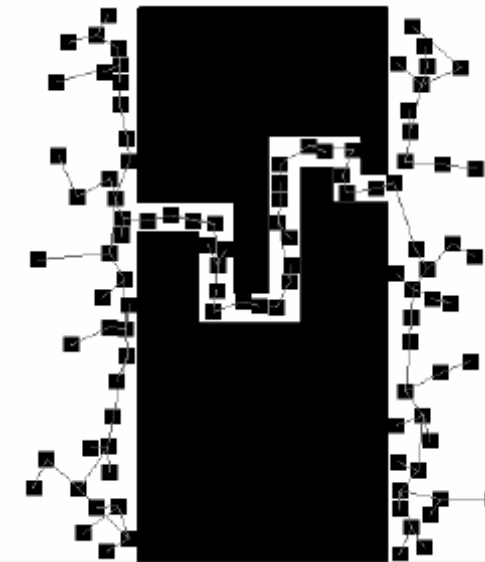
$$E(\mathbf{x}) = \sum_{\mathbf{a} \in A} \frac{1}{2} (\mathbf{x} - \mathbf{a})^T (\mathbf{x} - \mathbf{a}) + \sum_{\mathbf{r} \in R} \frac{1}{2} (\mathbf{x} - \mathbf{r})^T (\mathbf{x} - \mathbf{r})$$

## Planejamento de Trajetórias

- Mapas de rotas probabilísticas



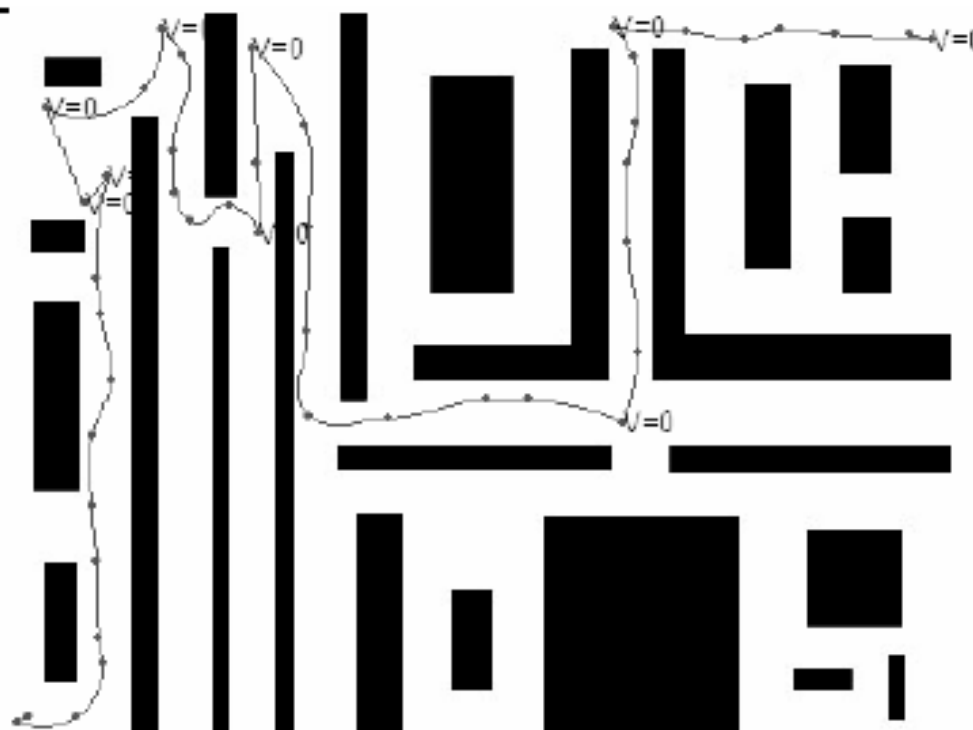
Amostragem uniforme



Amostragem gaussiana

## Planejamento de Trajetórias

- Mapas de rotas probabilísticas: aplicação para o robô Omni.



## Parte III - Mercado da Robótica Móvel

- Activemedia (<http://www.activrobots.com>)- robôs



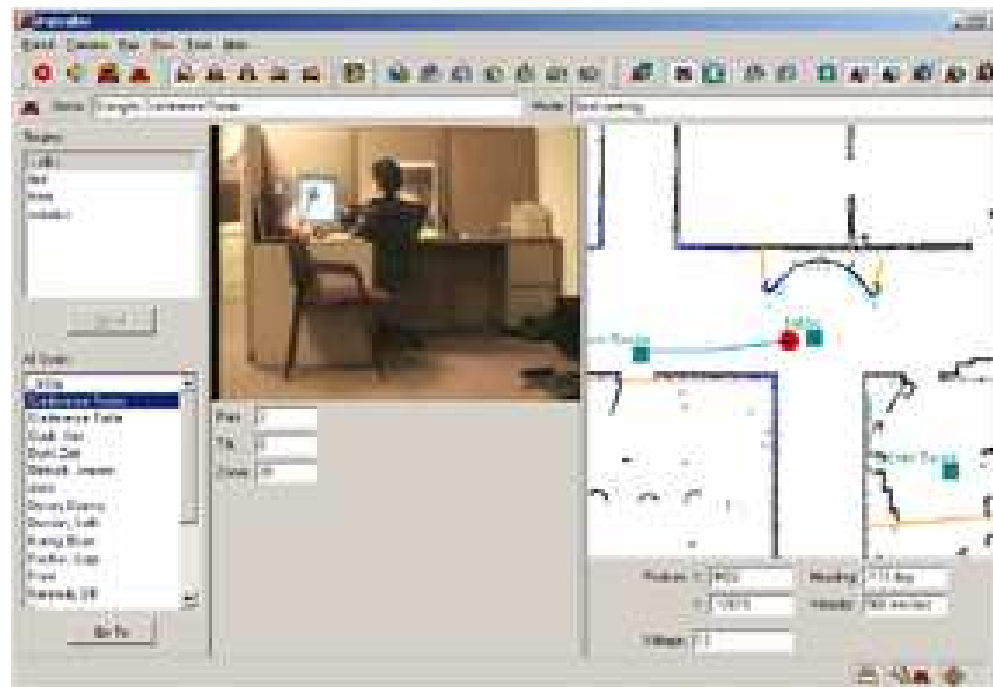
PeopleBot



Pioneer

## Parte III - Mercado da Robótica Móvel

- Activemedia (<http://www.activrobots.com>)- software



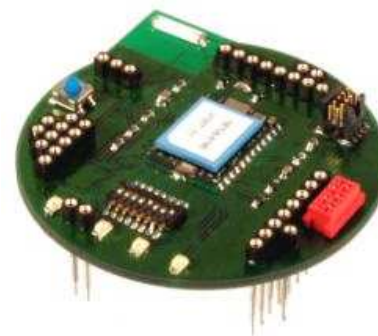
MobileEyes

## Parte III - Mercado da Robótica Móvel

- K-team (<http://www.k-team.com>)- khepera



Base



Radio



Câmera



Garra

## Sites Internet

- <http://www.thocp.net/reference/robotics/robotics.html>
  - Timeline of robotics
- <http://www.thetech.org/exhibits/online/robotics/universal/index.html>
  - Universal robots: the history and working of robotics.



## Referências

- [Borges, 1998] Borges, G. A. (1998). Um sistema óptico de reconhecimento de trajetórias para veículos automáticos. Master's thesis, Copele-UFPB, Campina Grande, PB, Brasil.
- [Borges, 2002] Borges, G. A. (2002). *Cartographie de l'environnement et localisation robuste pour la navigation de robots mobiles*. PhD thesis, Université Montpellier II, LIRMM, 161 rue ADA, 34392, Montpellier, Cedex 5, France. *One of the recipients of the 2001/2002 Club EEA prize for the best french thesis in Automatic Control*.
- [Borges and Aldon, 2003] Borges, G. A. and Aldon, M.-J. (2003). Robustified estimation algorithms for mobile robot localization based on geometrical environment maps. *Robotics and Autonomous Systems*, 45(3-4):131–159.
- [Borges and Aldon, 2004] Borges, G. A. and Aldon, M.-J. (2004). Line extraction in 2d range images for mobile robotics. *Journal of Intelligent and Robotic Systems*, 45:267–297.
- [Borges et al., 2003] Borges, G. A., Lima, A. M. N., and Deep, G. S. (2003). Controladores cinemáticos de trajetória para robôs móveis com tração diferencial. In *VI Simpósio Brasileiro de Automação Inteligente (SBAI)*.
- [Brown et al., 2003] Brown, M. Z., Burschka, D., and Hager, G. D. (2003). Advances in computational stereo. *IEEE Transactions on Pattern Analysis and Machine Intelligence*, 25(8):993–1008.
- [Campion et al., 1996] Campion, G., Bastin, G., and D'Andréa-Novel, B. (1996). Structural properties and classification of kinematic and dynamic models of wheeled mobile robots. *IEEE Transactions on Robotics and Automation*, 12(1):47–62.

[Moravec and Elfes, 1985] Moravec, H. P. and Elfes, A. (1985). High resolution maps from wide angle sonar. In *IEEE International Conference on Robotics and Automation*, pages 116–121.

[Thrun, 2000] Thrun, S. (2000). Probabilistic algorithms in robotics. *AI Magazine*, 21(4):93–109.

